

Sensitivity analysis of hydraulic parameters of transport heavy metals Cd, Ni, and Zn in disturbed and undisturbed loamy soil columns

Seyyede Kosar Daneshyar¹ , Mohammad Reza Dalalian^{2*} , Shahram Shahmohammadi-Kalalagh³ , Elnaz Sabbaghzadeh² , Siamak Saedi² 

¹ Ph.D. Student, Department of Soil Science and Engineering, Faculty of Agriculture and Natural Resources, Islamic Azad University, Tabriz Branch, Tabriz, Iran

² Assistant Professor, Department of Soil Science and Engineering, Faculty of Agriculture and Natural Resources, Islamic Azad University, Tabriz Branch, Tabriz, Iran

³ Associate Professor, Department of Soil Science and Engineering, Faculty of Agriculture and Natural Resources, Islamic Azad University, Tabriz Branch, Tabriz, Iran

Extended Abstract

Introduction

Soil contamination due to heavy metals is a global environmental issue. One vital aspect for understanding the impact of a contaminant in porous media is to describe their transport behavior using appropriate models. The governing equations for solute transport in soil consist of the convection-dispersion equation (CDE) and the mobile-immobile model (MIM). Mathematical models are usually used to evaluate solute transport in porous media. The first model used to express the transport of solutes and pollutants in porous media is CDE it provides acceptable and satisfactory results in homogeneous soils in laboratory tests. Hydrus-1D is a modeling environment for simulating water, heat, and solute movement in one-dimensional variably saturated media. Sensitivity analyses and model identification are standard approaches in modeling applications to investigate the relative importance of model components that control the system's behavior. The sensitivity analysis is applied to identify the parameters that influence the model performance most. The sensitivity analysis is defined as the rate of variation in the model outputs due to changes in the input parameters. This study is a fundamental practice for analyzing the behavior of a model under different conditions of an application. The sensitivity analysis could be a practical and powerful tool for investigating the role and importance of model components, such as parameters and forcing data on the model responses.

Materials and Methods

The loamy soil samples were collected in both disturbed and undisturbed forms from a farm in the Qaramalek area with appropriate humidity located in western Tabriz, Iran, at $38^{\circ} 5' 59.89''$ north and $45^{\circ} 12' 38.57''$ east. To determine and present breakthrough curves, concentration values are required throughout the laboratory columns at different times. To simulate the CDE model, Hydrus software was used. Solute transport parameters such as diffusion coefficient (D), distribution coefficient (K_d), and dispersion coefficient (β) were estimated using soil hydraulic parameters and data related to the metal concentration of cadmium, nickel, and zinc by an inverse modeling method. A sensitivity analysis was carried out for the identification of the most influential factors on the model output. This method examines the impact of input data on a given model and its actual conditions. In line with this purpose, in each run, one input data was changed to a value equal to Positive and negative five to 15%, and the other input data was kept constant. To identify the effect of the input parameters of a given model on its output, the sensitivity analysis for the Hydrus model was utilized. The parameters of hydrodynamic dispersion coefficient (D), distribution coefficient (K_d), and spreading parameter (β) were changed between five to 15 %. Sensitivity analysis was carried out on cadmium, nickel, and zinc metals with densities equal to 50, 100, and 150 mg l⁻¹ in two disturbed and undisturbed soils.

Results and Discussion

Examining the breakthrough curves of cadmium in disturbed and undisturbed soils shows that the fitted curves using the Hydrus model and the measured curve almost coincide with each other, which is more obvious in disturbed soils. It should be noted that the model fits better in the disturbed soil than in the undisturbed soil. This

may be due to the disruption of the structure the increase in the contact surface of the particles in the disturbed soil and the presence of heterogeneity in the undisturbed soil column. The simulation results show the transport of heavy metals (Zn, Ni, Cd) and Hydrus output have the highest and the lowest sensitivity to dispersion coefficient β and diffusion coefficient (D), respectively. In general, the impact of input parameters can be reported as follows: spreading parameter (β) > distribution coefficient (Kd) > dispersion coefficient (D). Therefore, it can be observed that D has a negligible effect on the model results; and consequently, measurement errors can be ignored.

Conclusion

Sensitivity analysis is used to analyze model behavior under different conditions. This analysis is used to investigate the relative importance of model components that control the system's behavior. In this research, the transfer of hydraulic parameters of heavy metals Cd, Ni, and Zn in disturbed and undisturbed loam soil columns with initial concentrations of 50, 100, and 150 mg l⁻¹ was performed under the simulation of the Hydrus-1D model. The comparison of the simulated BTCs of the Hydrus-1D model and the measured data indicates a high agreement between the simulation curves and the measured data. Solute transport parameters such as hydrodynamic dispersion coefficient (D), distribution coefficient (Kd), and spreading parameter (β) were estimated using soil hydraulic parameters and data related to Cd, Ni, and Zn metal concentration by inverse modeling method. Based on the results of sensitivity analysis, the spreading parameter (β) and hydrodynamic dispersion coefficient (D) had the highest and lowest sensitivity, respectively. In other words, due to the significant effect of β changes on the output values of the model, this parameter should be measured more accurately and on the other hand, the measurement errors of parameter D can be ignored. The degree of sensitivity of the parameters was independent of the initial concentration of the elements.

Keywords: Dispersion coefficient, Distribution coefficient, Hydrus, Spreading parameter, Simulation

Article Type: Research Article

Acknowledgement

We would like to express our sincere gratitude to the Islamic Azad University, Tabriz Branch for the financial and logistical support that significantly contributed to the research project.

Conflicts of interest

The authors of this article declared no conflict of interest regarding the authorship or publication of this article.

Data availability statement

The datasets are available upon a reasonable request to the corresponding author.

Authors' contribution

Seyyede Kosar Daneshyar: Writing-original draft preparation, resources, software; **Mohammad Reza Dalalian:** Formal analysis and investigation, manuscript editing; **Shahram Shahmohammadi-Kalalagh:** Formal analysis and investigation, manuscript editing; **Elnaz Sabbaghzadeh:** Methodology, supervision; **Siamak Saedi:** Methodology, supervision.

*Corresponding Author E-mail: mdalalian@iaut.ac.ir

Citation: Daneshyar, S.K., Dalalian, M.R., Shahmohammadi-Kalalagh, SH., Sabbaghzadeh, E., & Saedi, S. (2024). Sensitivity analysis of hydraulic parameters of transport heavy metals Cd, Ni, and Zn in disturbed and undisturbed loamy soil columns. *Water and Soil Management and Modeling*, 4(3), 203-224.

DOI: 10.22098/mmws.2023.13055.1299

Received: 04 June 2023, Received in revised form: 26 June 2023, Accepted: 03 July 2023, Published online: 03 July 2023
Water and Soil Management and Modeling, Year 2024, Vol. 4, No. 3, pp. 203-224

Publisher: University of Mohaghegh Ardabili

© Author(s)





مدل‌سازی و مدیریت آب و خاک



شایان اکترونیکی: ۲۵۴۶-۲۷۸۳

تحلیل حساسیت پارامترهای هیدرولیکی انتقال فلزات سنگین کادمیم، نیکل و روی در ستون‌های خاک لومی دستخورده و دستنخورده

سیده‌کوثر دانشیار^۱، محمدرضا دلایان^{۲*}، شهرام شاه‌محمدی کلالق^۳، الناز صباغ‌تازه^۳، سیامک ساعدی^۳

^۱ دانشجوی دکتری، گروه علوم و مهندسی خاک، دانشکده کشاورزی و منابع طبیعی، دانشگاه آزاد اسلامی، واحد تبریز، ایران

^۲ استادیار، گروه علوم و مهندسی خاک، دانشکده کشاورزی و منابع طبیعی، دانشگاه آزاد اسلامی، واحد تبریز، ایران

^۳ دانشیار، گروه علوم و مهندسی آب، دانشکده کشاورزی و منابع طبیعی، دانشگاه آزاد اسلامی، واحد تبریز، تبریز، ایران

چکیده

تحلیل حساسیت برای تحلیل رفتار مدل تحت شرایط مختلف کاربرد دارد. نتایج تحلیل حساسیت به منظور تعیین دقت قابل قبول در اندازه‌گیری داده‌های ورودی مهم است. در این پژوهش، انتقال فلزات سنگین کادمیم، نیکل و روی در ستون‌های خاک لومی دستخورده و دستنخورده با غلظت‌های اولیه ۵۰ و ۱۰۰ و ۱۵۰ میلی‌گرم بر لیتر با استفاده از مدل ID-1 Hydrus شبیه‌سازی و پارامترهای انتقال املاح نظری ضریب پخش (D)، ضریب توزیع (Kd) و ضریب پراکندگی (β) با استفاده از پارامترهای هیدرولیکی خاک و داده‌های مربوط به غلظت فلز کادمیم، نیکل و روی به روش مدل‌سازی معکوس برآورد شد. بررسی منحنی‌های رخنه حاصل از شبیه‌سازی مدل ID-Hydrus و داده‌های اندازه‌گیری شده نشان‌دهنده تعابق بالای منحنی‌های شبیه‌سازی با داده‌های اندازه‌گیری بود. برآش مدل در خاک دستخورده نسبت به خاک دستخورده بهتر بود که این امر ممکن است به دلیل بهم خوردگی ساختمان خاک و افزایش سطح تماس ذرات خاک در خاک دستخورده وجود ناهمگنی ذرات در ستون خاک دستخورده باشد. بر اساس نتایج تحلیل حساسیت، پارامترهای پراکندگی (β) و ضریب پخش (D) به ترتیب با دامنه حساسیت بیشتر از ۱/۵ و کمتر از ۳/۰ بیشترین و کمترین حساسیت را نسبت به تغییرات در هر دو نوع خاک دستخورده و دستخورده نشان داد. در کل روند حساسیت پارامترهای مدل به صورت زیر بود: پارامتر پراکندگی > ضریب توزیع > ضریب پخش. به عبارتی با توجه به تأثیر قابل توجه تغییرات β بر مقادیر خروجی مدل، در صورت تعیین عملی و آزمایشگاهی این پارامتر بایستی با دقت بیشتری اندازه‌گیری شود و در مقابل می‌توان از خطاهای اندازه‌گیری پارامتر D چشم‌پوشی کرد. درجه حساسیت پارامترهای مستقل از میزان غلظت اولیه عناصر بود.

واژه‌های کلیدی: پارامتر پراکندگی، شبیه‌سازی، ضریب پخش، ضریب توزیع، Hydrus

نوع مقاله: پژوهشی

*مسئول مکاتبات، پست اکترونیکی: mdalalian@iaut.ac.ir

استناد: دانشیار، سیده‌کوثر، دلایان، محمدرضا، شاه‌محمدی کلالق، شهرام، صباغ‌تازه، الناز، و ساعدی، سیامک (۱۴۰۳). تحلیل حساسیت پارامترهای هیدرولیکی انتقال فلزات سنگین کادمیم، نیکل و روی در ستون‌های خاک لومی دستخورده و دستنخورده. مدل‌سازی و مدیریت آب و خاک، ۲۰۳، ۲۰۳-۲۲۴.

DOI: 10.22098/mmws.2023.13055.1299

تاریخ دریافت: ۱۴۰۲/۰۳/۱۴، تاریخ بازنگری: ۰۵/۰۴/۱۴، تاریخ پذیرش: ۱۴۰۲/۰۴/۱۲، تاریخ انتشار: ۱۴۰۲/۰۴/۱۲

مدل‌سازی و مدیریت آب و خاک، سال ۱۴۰۳، دوره ۴، شماره ۳، صفحه ۲۰۳ تا ۲۲۴

ناشر: دانشگاه محقق اردبیلی © نویسنده‌گان



۱- مقدمه

برای بدست آوردن پارامترهای انتقال آلاینده‌ها مانند سرعت آب منفذی، ضریب تأخیر، ضرباب جذب، و پارامترهای تخریب یا تولید را دارند (Pietrzak, 2021). همچنین، مدل غیرتعادلی CDE به طور گسترده برای شبیه‌سازی انتقال فلز در ستون خاک بهدلیل تطبیق‌پذیری آن در تحقیق‌های متعددی استفاده شده است (Yuan and Peng, 2017; Yang et al., 2019; Jiang et al., 2019; Wang et al., 2020; Yang et al., 2022) کاربرد مدل‌های عددی در پژوهش‌های مختلف برای پیش‌بینی Nguyen Ngoc (et al., 2009; Zhang et al., 2020; Pietrzak, 2021) رفتار انتقال یون‌ها در خاک گزارش شده است (Simunek et al. (1998) در آزمایشگاه شوری آمریکا بسط داده شد و شامل حل عددی روابط انتقال-پخش (CDE) برای بررسی حرکت آلدگی و گرما در خاک است. روابط به روش عناصر محدود حل و قادر به شبیه‌سازی حرکت آلدگی در شرایط اشباع و غیراشباع بوده و حتی ویژگی‌های خاک را به روش معکوس تخمین می‌زند (Simunek et al., 1998).

در پژوهشی، Zhi-Ming (2012) برای برآورد پارامترهای CDE از مدل‌های تعادلی و غیرتعادلی در برنامه CXTFIT استفاده کرد و نشان داد که هر دو مدل تعادلی و غیرتعادلی در مدل‌سازی انتقال کادمیم به خوبی عمل کردند. انتقال KCl در ستون‌های خاک توسط نرم‌افزار CXTFIT و اعتبارسنجی آن با شبیه‌سازی مدل Hydrus-1D بررسی شد. نتایج نشان داد که تفاوت قابل توجهی بین برآورد پارامترهای انتقال املاح و شبیه‌سازی عددی وجود ندارد (Kanzari et al., 2015). نتایج تحلیل حساسیت در توصیف انتقال یک آلاینده غیرواکنش‌گر در خاک همگن و ناهمگن توسط Moradi and Mehdinejadiani (2018) با استفاده از رابطه ADE و FADE نشان داد میانگین سرعت آب منفذی و ضریب پراکندگی پیش‌ترین و کمترین حساسیت را در هر دو مدل دارند. نتایج بررسی چهار مدل CDE، MIM، CTRW، FADE در انتقال املاح روی، کادمیم و نیکل در ستون‌های خاک لومی دست‌خورده و دست‌خورده توسط Morsali et al. (2019) نشان داد که مدل MIM در مقایسه با مدل CTRW، FADE، CXTIFT برای شبیه‌سازی حمل و نقل فلزات سنگین مناسب‌تر هستند. در این پژوهش شبیه‌سازی انتقال فلزات سنگین (روی، نیکل، کادمیم)، با استفاده از مدل CXTIFT انجام و تحلیل حساسیت پارامترهای هیدرولیکی با استفاده از مدل CTRW بررسی شد. نتایج نشان داد در شبیه‌سازی انتقال این فلزات خروجی مدل پیش‌ترین و کمترین حساسیت را به پارامتر پراکندگی β و ضریب پخش هیدرودینامیکی D دارد.

درک رفتار و انتقال فلزات برای پیش‌بینی میزان آلدگی در سیستم آب زیرزمینی، خاک و برای محافظت از سلامت عمومی ضروری است (Liu et al., 2022). یک جنبه مهم در درک سرنوشت یک آلاینده در محیط‌های متخلخل، توصیف رفتار انتقال آن با استفاده از مدل‌های مناسب است (Pang and Close, 1999). مدل‌ها می‌توانند در ارزیابی خطرات احتمالی که فلزات سنگین مختلف برای محیط زیست ایجاد می‌کنند، دارای ارزش زیادی باشند. بنابراین، برای توصیف و پیش‌بینی جذب و تجمع فلزات سنگین توسط گیاهان یا جذب و انتقال فلزات سنگین در خاک و رسوبات، اغلب از مدل‌ها استفاده می‌شود (Michel and Ludwig, 2005).

پیش‌بینی قابل اعتماد مدل به تخمین مقدار مناسب برای پارامترهای فرآیندهای انتقال املاح بستگی دارد. مدل‌سازی معکوس یک روش محبوب برای تخمین پارامترها با کمینه‌سازی یک تابع هدف تبدیل شده است که معمولاً مشکل بهینه‌سازی را کاهش می‌دهد. تا به امروز، تلاش‌های محدودی برای تخمین پارامترهای انتقال املاح با مدل معکوس با استفاده از داده‌های یک ستون خاک لایه‌ای انجام شده است (Lin and Xu, 2020).

روابط حاکم بر انتقال املاح در خاک شامل رابطه انتقال-پخش (CDE) و مدل روان-ساکن (MIM) است. با توجه به متخلخل بودن و پیچیدگی محیط خاک، تعیین سرنوشت آلاینده در آن مشکل است (Gove et al., 2001; Jacques et al., 2002). بهدلیل مشکل بودن مشاهده و اندازه‌گیری آلاینده در زمین‌های کشاورزی، کاربرد مدل‌های ریاضی توصیه شده است (Shahmohammadi and Beyrami, 2015).

رابطه انتقال-پخش (CDE) اولین مدلی است که به طور وسیع برای انتقال املاح و آلاینده‌ها در محیط‌های متخلخل مورد استفاده قرار گرفته و نتایج قابل قبول و رضایت‌بخشی در خاک‌های همگن و البته در مقیاس آزمایشگاهی ارائه نموده است (Jury, 1982; Huang et al., 2005).

به صورت رابطه (۱) (Bear, 1972) بیان می‌شود:

$$\frac{\partial C}{\partial t} = D \frac{\partial^2 C}{\partial x^2} - V \frac{\partial C}{\partial x} \quad (1)$$

در رابطه بالا، C غلظت آلاینده (ML^{-3})، D هیدرودینامیکی یا (ضریب پخش) ($L^2 T^{-1}$)، V سرعت متوسط آب منفذی (LT^{-1})، x فاصله (L) و t زمان (T) است.

برنامه‌های رایانه‌ای متعددی برای مدل‌سازی جابه‌جایی انواع آلاینده‌ها در محیط‌های متخلخل بر پایه راه حل‌های تحلیلی یا عددی مختلف بسط داده شده است که در این بین مدل‌های STANMOD و Hydrus-1D، CXTFIT

طریق Rosetta به دست آمد. معمول ترین آن‌ها به صورت رابطه‌های (۳) و (۴) است (Van Genuchten, 1980).

$$\theta(h) = \theta_r + \frac{\theta_s - \theta_r}{[1 + (\alpha h)^n]^m} \quad m=1-\frac{1}{n} \quad n>1 \quad (3)$$

$$K(h) = K_s S_e [1 - (1 - S_e^{\frac{1}{m}})]^2 \quad (4)$$

در این روابط، Θ_r رطوبت باقی‌مانده، Θ_s رطوبت اشباع، α معکوس مقدار هوای ورودی، m پارامتر مرتبط با تقارن منحنی حول نقطه عطف، n توزیع اندازه منافذ و ۱ پارامتر هدایت‌پذیری منفذی، K_s هدایت آبی اشباع و S_e اشباع نسبی است. برداشت آب توسط ریشه (مقدار S در رابطه ۲) براساس حجم آب برداشت شده توسط گیاه در واحد حجم خاک در واحد زمان تعیین می‌شود. در این مدل، S به صورت رابطه (۵) تعریف شده است (Feddes et al., 1978):

$$S(h) = \alpha(h) S_p \quad (5)$$

در آن، $\alpha(h)$ تابع تنش آبی و S_p شدت پتانسیل جذب آب است. برای تخمین و برآورد پارامترهای هیدرولیکی عموماً از روش مدل سازی معکوس که یک روش بهینه‌سازی است استفاده می‌شود. Hydrus_1D با توجه به قابلیت مدل سازی معکوس، از نرم‌افزار Hydrus_1D استفاده شد. در روش حل معکوس، با استفاده از حداقل سازی تفاوت بین غلظت‌های اندازه‌گیری شده و تخمین زده شده توسط مدل، پارامترهای بهینه تعیین می‌شود.

۲-۲- منطقه مورد مطالعه

نمونه‌های خاک لوم از منطقه قراملک واقع در غرب شهر تبریز با موقعیت جغرافیایی $40^{\circ} 5' 5''$ شرقی و $38^{\circ} 57' 38''$ شمالی و $12^{\circ} 38' 57''$ شمالی و شرقی به صورت دست‌خورده و دست‌خورده تهیه شد. در جدول ۱ برخی خصوصیات فیزیکی خاک مرتئی منطقه ارائه شده است. بافت خاک یکسان، ولی توزیع اندازه ذرات در نمونه‌ها متفاوت بود.

با توجه به این که در یک مدل پارامترهای زیادی دخیل هستند، انجام تحلیل حساسیت مدل برای درک بهتر رفتار مدل و اطمینان از نجوه کارکرد آن و درک بهتر از پارامترهای ورودی برای Lurette et al., 2009; Burgers et al., 2010; Lamboni et al., 2011; Saltelli et al., 2019; Rouger et al., 2023 درک دقیقی به عنوان گامی رو به جلو برای شناسایی مدل و راهنمایی برای واسنجی مدل در کاربردهای آتی ارائه می‌دهد. تحلیل حساسیت ابزار مفیدی برای بررسی نقش و اهمیت اجزای مدل، مانند پارامترهای داده‌های ورودی و تولید پاسخ‌های مدل است، لذا تغییر مقادیر پارامترهای مدل و ارزیابی تغییرات را ممکن می‌کند (Soares and Calijuri, 2021). مطالعه حاضر با هدف تعیین تحلیل حساسیت پارامترهای ورودی در مدل یک بعدی Hydrus_1D انجام شد.

۲- مواد و روش‌ها

۱-۲- مدل عددی Hydrus-1D

در مدل Hydrus-1D حرکت یک بعدی آب در خاک با استفاده از حل عددی (الگوی خطی عناصر محدود) رابطه (۲) بیان می‌شود:

$$\frac{\partial \theta}{\partial t} = \frac{\partial}{\partial x} \left[K(\theta) \left(\frac{\partial h}{\partial x} + \cos \alpha \right) \right] - s \quad (2)$$

در این رابطه، Θ رطوبت حجمی ($L^3 L^{-3}$)، t زمان ($L^3 L^{-3} T^{-1}$), s مکش ماتریک (L), α زاویه میان سیر جریان و محور عمودی (برای حرکت عمودی آب در خاک $\alpha=0$ ، برای حرکت افقی $\alpha=90$ و برای سایر مسیرها $0 < \alpha < 90$ است)، S برداشت آب توسط ریشه ($L^3 L^{-3} T^{-1}$) و x فاصله (L) است. در این مدل برای توصیف مشخصات هیدرولیکی خاک نظری منحنی رطوبتی و هدایت آبی غیراشباع روابط متعددی تعريف شده است. با استفاده از قابلیت نرم‌افزار، مشخصات هیدرولیکی خاک از

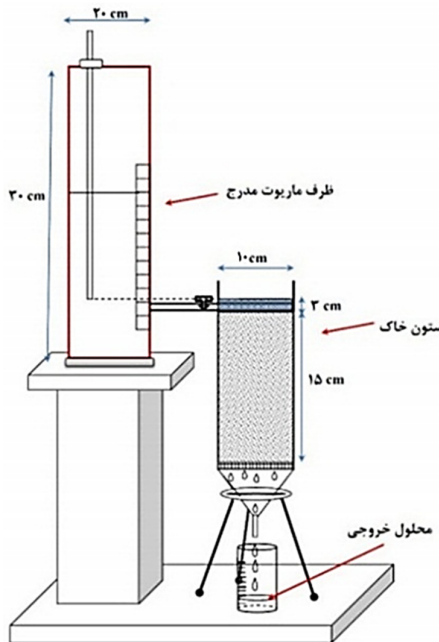
جدول ۱- برخی از خصوصیات فیزیکی خاک

Table 1- Some physical properties of the soil

Sand	Silt	Clay	Soil texture	Organic matter	pH	Bulk density	Field capacity	EC
43.9	35.1	21	Loam	2.10	7.7	1.32	20	1.7

کف ستون‌ها کنده شده و بالا آورده شد. حفاری و خالی کردن تدریجی خاک اطراف لوله‌ها، راندن لوله‌های PVC به درون خاک و قرارگیری به صورت ستون خاک دست‌خورده داخل لوله را آسان‌تر ساخت. جهت نفوذ آسان‌تر لوله‌ها به درون خاک، همزمان با ورود لوله‌ها مرتبأ خاک اطراف آن‌ها حفاری و تخلیه شد. ستون‌های خاک دست‌خورده از همان خاک (لوم) تهیه شد. برای این منظور از عمق صفر تا ۱۵ سانتی‌متری مقدار کافی از خاک با پیچه برداشته شد. پس از هوا خشک کردن و کوبیدن ملاجم و

۳-۲- تهیه ستون‌های خاک دست‌خورده و دست‌خورده به منظور تهیه ستون‌های خاک دست‌خورده لوله‌های پلی‌اتلن (PVC) با قطر و ارتفاع بدترتبه ۱۰ و ۲۰ سانتی‌متر تهیه شد. جهت سهولت فروروی لوله‌ها در خاک، لبه خارجی آن‌ها از طرف خارج تیز شده و سپس لوله‌ها به آرامی و با فشار دست وارد خاک شدند پس از پرشدن استوانه از خاک تا ارتفاع ۱۵ سانتی‌متر، دهانه لوله‌ها با توری پوشیده شده تا از ریزش خاک جلوگیری شود. سپس لوله‌های PVC همراه با خاک دست‌خورده داخل آن‌ها تا



شکل ۱- نمایی از ستون‌های خاک در طول رخنه محلول‌های فلزات سنگین

Figure 1- The schematic of the soil column during the breakthrough of the heavy metals

با قطع جریان محلول زمینه بالا فاصله محلولی از هر یک از فلزات سنگین مورد نظر (ZnCl_2 , CdCl_2 , NiCl_2) به غلظت 50 , 100 و 150 میلی‌گرم در لیتر (C_0) مورد آزمایش (به غلظت 50 , 100 و 150 میلی‌گرم در لیتر) در هر یک از تیمارها با استفاده از یک ظرف ماریوت دیگر به ستون‌ها تزریق شد. سپس جریان محلول 0.01 مولار CaCl_2 به همان بار ثابت یک سانتی‌متری مجدد برقرار شد. زه آب خروجی بالا فاصله بعد از تزریق محلول مورد نظر از هر ستون در زمان‌های پنج و 15 دقیقه جمع‌آوری و غلظت فلز سنگین مورد نظر (C) در آن اندازه‌گیری شد. این عمل تا زمان رسیدن به غلظت ثابت فلز سنگین مورد نظر زه آب خروجی ادامه یافت. غلظت‌های اندازه‌گیری شده تبدیل به غلظت نسبی (C/C_0) شده و منحنی‌های رخنه از ترسیم (C/C_0) در مقابل زمان تجمعی (t) به دست آمد. غلظت فلزات سنگین Zn , Ni و Cd در محلول خروجی با استفاده از دستگاه جذب اتمی اندازه‌گیری شد.

در این پژوهش با اندازه‌گیری غلظت فلزات سنگین کادمیم، نیکل و روی و شبیه‌سازی منحنی‌های رخنه با استفاده از نرم‌افزار Hydrus-1D، پارامترهای مجھول و برآش منحنی رخنه اندازه‌گیری شده از روش معکوس تعیین شدند. پارامترهای Hydrus-1D به دست آمد. با بهره‌گیری از مدل Hydrus-1D پارامترهای CDE ضریب پخش، ضریب توزیع و ضریب پراکندگی در مدل ۱D برآورد و منحنی رخنه اندازه‌گیری شده برآش داده شد، سپس

عبور از الک دو میلی‌متری در درون لولهای PVC به نحوی پر شد که جرم مخصوص ظاهری آن برابر با جرم مخصوص خاک دست‌نخورده ($1/32$ گرم بر سانتی‌متر مکعب) شود. برای جلوگیری از وقوع جریان مستقیم محلول ریداب از فضای بین دیواره ستون خاک و لوله PVC قبل از پرشدن لولهای جدار داخلی آن‌ها با پارافین مذاب آغشته شد. از هر خاک چه دست‌خورده و چه دست‌خورده سه ستون تهیه و ستون‌ها برای انجام آزمایش جاشنی اختلاط‌پذیر با استفاده از محلول‌های ZnCl_2 , CdCl_2 و NiCl_2 به کار رفت. لازم به ذکر است که تمامی آزمایش‌ها با سه تکرار (دست‌خورده و دست‌خورده برای هر فلز سنگین و تک‌تک غلظت‌های، برای هر فلز شش نمونه در سه تکرار در مجموع 18 نمونه) انجام شد. برای انجام آزمایش جاشنی اختلاط‌پذیر، ابتدا ستون‌ها از قسمت پایین به تدریج با محلول زمینه 0.01 مولار CaCl_2 اشباع شد. پس از اشباع نمودن، با استفاده از شست و شوهای متوالی با محلول زمینه اجاهه داده شد تا اولاً خاک در نمونه‌های دست‌خورده نشست طبیعی احتمالی خود را کامل کند و ثانیاً خاک داخل ستون‌ها (چه دست‌خورده و چه دست‌خورده) با محلول CaCl_2 به تعادل برسند. ستون‌های خاک بهمنظور آب‌شویی با محلول 0.01 مولار CaCl_2 به عنوان محلول زمینه مطابق شکل ۱ به مخزن ماریوت وصل شد. از مخزن مذکور جهت ابقای شدت جریان ثابت محلول روی ستون خاک استفاده شد. کف این ستون‌ها در داخل یک قیف پلاستیکی روی اسکاج و تور سیمی تثبیت شد (شکل ۱). نقش تور سیمی و اسکاج برای نگهداری و تحمل وزن ستون خاک و جلوگیری از شسته شدن احتمالی ذرات خاک از انتهای ستون خاک است. منفذ تور سیمی و اسکاج روی آن به حد لازم درشت می‌باشد تا محدودیتی برای جریان آب در ستون خاک ایجاد نشود. یک خروجی برای سریز محلول هر ستون جهت ثبات بار تعییه شد. محل لوhe خروجی قابل تنظیم بوده و ارتفاع مجرای خروجی با توجه به شدت جریان مورد نیاز تنظیم شد. اشباع شدن خاک‌ها بدون ایجاد فشار هیدرولاستاتیکی در جبهه رطوبتی صورت گرفت تا از محبوس شدن هوا جلوگیری شود. اشباع کردن با قرار دادن انتهای ستون‌های خاک در ارتفاعی معادل با سطح محلول زمینه انجام شد. ارتفاعی از محلول زمینه در اثر کاپیلاریته تا فاصله‌ای سریع صعود کرده و خاک ستون را از پایین اشباع می‌کرد. با توقف صعود مؤینگی سطح محلول یک سانتی‌متر بالاتر برده می‌شد تا صعود و اشباع شدن مجدداً کامل شود. این عمل تا زمانی ادامه یافت که ارتفاع محلول زمینه به سطح خاک برسد و ستون را کاملاً اشباع نماید. جهت اطمینان از اشباع کامل در آخرین مرحله اشباع اجازه داده شد تا ارتفاعی از محلول در سطح خاک قرار بگیرد.

برآورده شده با مدل Hydrus-1D نشان دهنده تطابق زیاد در مدل Jirka Simunek (2014)، Raoof et al., (2015) و Kanzari et al., (2014) است. نتایج مشابهی توسط گزارش شده است. با توجه به شکل‌ها، برازش مدل‌ها در خاک دستخورده نسبت به خاک دستخورده بهتر است که این امر ممکن است به دلیل بهم خوردگی ساختمان خاک و افزایش سطح تماس ذرات خاک در ستون خاک دستخورده وجود ناهمگنی ذرات در ستون خاک دستخورده باشد. در نتایج پژوهش Morsali et al. (2019) و Ersahin et al. (2002) نیز این چنین گزارش شده است. منحنی‌های رسم شده در غلظت‌های اولیه ۵۰، ۱۰۰ و ۱۵۰ بسیار مشابه و غیرقابل تشخیص هستند (شکل‌های ۲ تا ۴). بنابراین، می‌توان نتیجه گرفت که تغییرات غلظت تأثیری در شبیه‌سازی انتقال فلزات سنگین نداشته است. پارامترهای برآورده شده از شبیه‌سازی انتقال فلزات سنگین کادمیم، نیکل و روی در ستون‌های خاک لومی اشباع دستخورده و دستخورده با مدل Hydrus-1D در جدول ۳ ارائه شده است. با توجه به جدول، ضرایب پراکنده بیشتر در خاک دستخورده نشان دهنده وجود رفتار غیرفیزیکی در مقایسه با خاک دستخورده است که ناشی از ناهمگنی بیشتر خاک دستخورده است. نتایج مشابهی توسط Xiong et al. (2006) و Huang et al. (2006) و Morsali et al. (2018) و Moradi and Mehdinejadani (2018) گزارش شده است. ضریب تأخیر (R) از روند $Zn > Ni > Cd > Cd$ پیروی می‌کند که نشان دهنده تحرک بیشتر کادمیم از دو فلز دیگر است. با بررسی نتایج مربوط به روند تحرک فلزات سنگین در ستون‌های خاک آلی و معدنی به صورت $Zn < Ni < Cd$ توسط Tyler and McBride (1982) تأیید می‌شود. یافته‌های حاصل از پژوهش Morsali et al. (2019) نیز روند مشابه با نتایج بدست آمده را نشان می‌دهد.

جدول ۳- پارامترهای برآورده شده با Hydrus-1D

Hydrus-1D		غلظت	خاک	فلز
R	D		ستون خاک	
19.4391	0.51697	50		
7.9069	0.34904	100	Disturbed	
4.51582	0.53166	150		Cd
13.6328	0.39962	50		
7.24281	0.37193	100	Undisturbed	
8.2556	0.50669	150		
8.43384	0.27055	50		
7.32511	0.45474	100	Disturbed	
5.74188	0.40226	150		Ni
19.1315	0.11078	50		
5.91898	0.76251	100	Undisturbed	
3.54602	0.46152	150		
9.18545	0.24113	50		
7.97818	0.36825	100	Disturbed	
5.4	0.30044	150		Zn
21.5115	0.34864	50		
4.61772	0.35909	100	Undisturbed	
9.8	0.42922	150		

تأثیر تغییرات پارامترهای موثر بر انتقال این فلزات و تحلیل حساسیت آن‌ها بررسی شد.

۲-۴- تحلیل حساسیت یا حساسیت سنجی مدل

تحلیل حساسیت برای شناسایی عوامل تأثیرگذار بر خروجی مدل انجام می‌شود. این روش تأثیرپذیری مدل و شرایط واقعی را با داده‌های ورودی بررسی می‌کند. به همین منظور مدل CDE در نرم‌افزار Hydrus-1D با تغییر یکی از پارامترهای ورودی اجرا شده و سایر پارامترهای ورودی در طول هر اجرا ثابت نگه داشته شدند. به عبارت دیگر، منحنی رخنه به دست آمده از مدل با پارامترهای واقعی نسبت به منحنی رخنه به دست آمده با پارامترهای تغییریافته مقایسه می‌شود. پارامترهای ضریب پخش هیدرودینامیکی، ضریب توزیع و پارامتر پراکنده نسبت به مقدار واقعی آن‌ها (مقدار تخمینی حاصل از مدل به روش معکوس) به اندازه مثبت و منفی پنج و ۱۵ درصد تغییر داده شدند. تحلیل حساسیت بر فلزات کادمیم، نیکل و روی در غلظت ۵۰، ۱۰۰ و ۱۵۰ میلی‌گرم در لیتر در دو خاک دستخورده و دستخورده انجام شد. اندازه‌گیری حساسیت پارامترهای ورودی نیز با رابطه (۶) بدست آمد (Liu et al., 2007).

$$S_e = \left(\frac{\Delta O}{O} \right)^{-1} \quad (6)$$

در رابطه فوق، S_e ضریب حساسیت، ΔO نشان دهنده تفاوت در پارامتر خروجی قبل و بعد از تغییر، O نشان دهنده میانگین پارامتر خروجی، ΔI نشان دهنده تفاوت در پارامتر ورودی قبل و بعد از تغییر، I نشان دهنده متوسط پارامتر ورودی است. محدوده ضریب حساسیت توسط Saadati et al., (2018) طبق جدول ۲ پیشنهاد شده است.

جدول ۲- دامنه تغییرات ضریب حساسیت

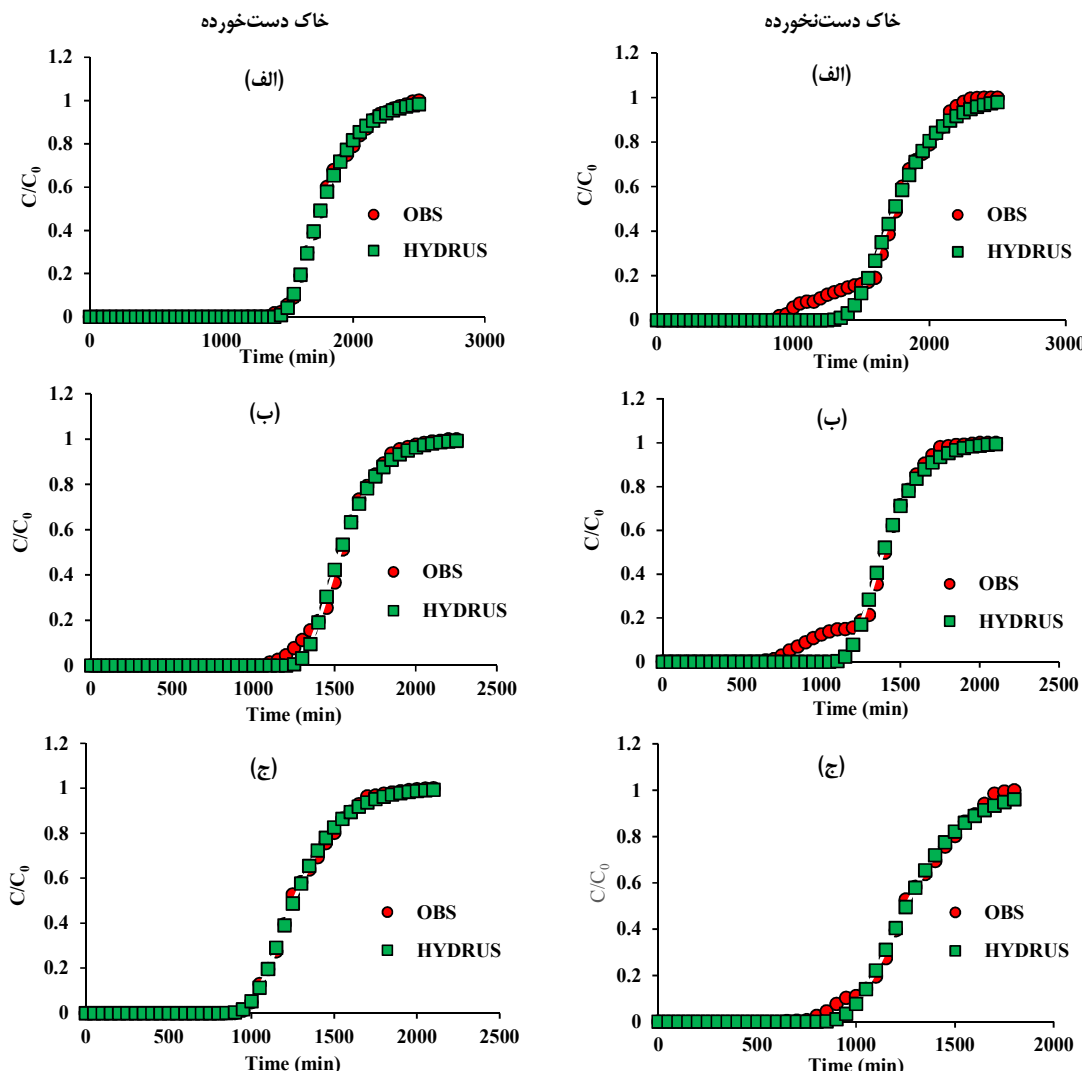
Table 2- Range of sensitivity coefficient changes

Se>1.5	0.3<Se<1.5	0<Se<0.3	Se=0	دامنه تغییرات
حساسیت زیاد	حساسیت متوسط	حساسیت کم	بدون حساسیت	شدت

۳- نتایج و بحث

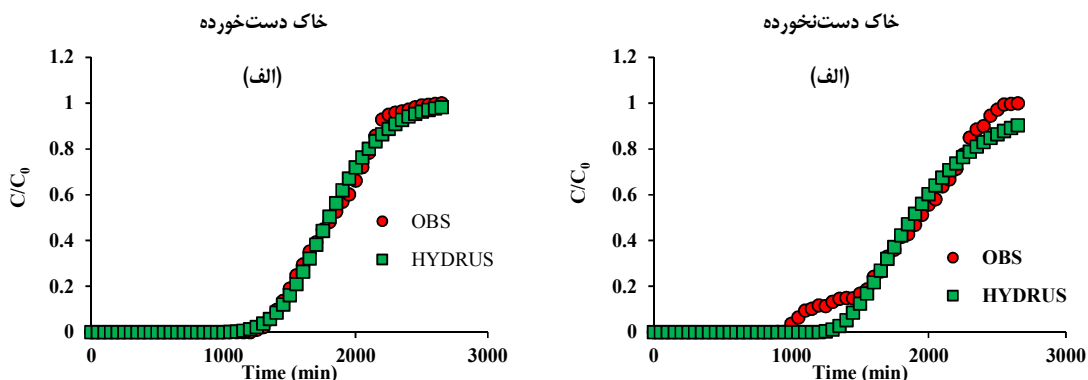
۱-۳- مقایسه منحنی‌های رخنه

منحنی‌های رخنه اندازه‌گیری و برآورده شده فلزات سنگین کادمیم، نیکل و روی در سه غلظت ۵۰، ۱۰۰ و ۱۵۰ در خاک لومی اشباع دستخورده و دستخورده با مدل Hydrus_1D در شکل‌های ۲ تا ۴ ارائه شده است. منحنی‌های برازش یافته با مدل‌های Hydrus_1D و منحنی‌های حاصل از داده‌های مشاهداتی تقریباً بر هم منطبق است که این انتطاق در خاک دستخورده بیشتر است. مطابق با شکل‌ها، بررسی منحنی‌های رخنه اندازه‌گیری و



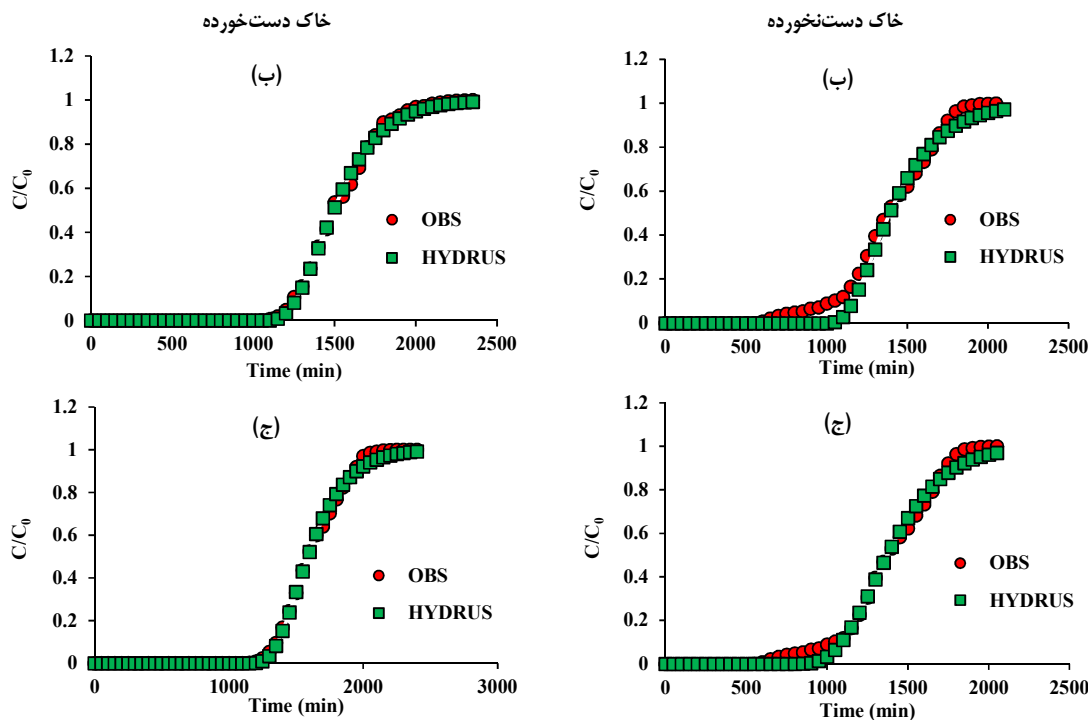
شکل ۲- شبیه‌سازی انتقال فلز کادمیم در خاک دست‌خورده و دست‌نخورده با مدل Hydrus_1D؛ (الف): میلی‌گرم بر لیتر ($C_0 = 50$)، (ب): میلی‌گرم بر لیتر ($C_0 = 100$) و (ج): میلی‌گرم بر لیتر ($C_0 = 150$)؛ OBS: داده‌های اندازه‌گیری شده و HYDRUS: داده‌های برآشش شده

Figure 2-Simulation of Cd metal transport in disturbed and untouched soil with Hydrus_1D model; A: mg l^{-1} ($C_0=50$), B: mg l^{-1} ($C_0=100$), and C: mg l^{-1} ($C_0=150$), OBS: measured data, and HYDRUS: fitted data



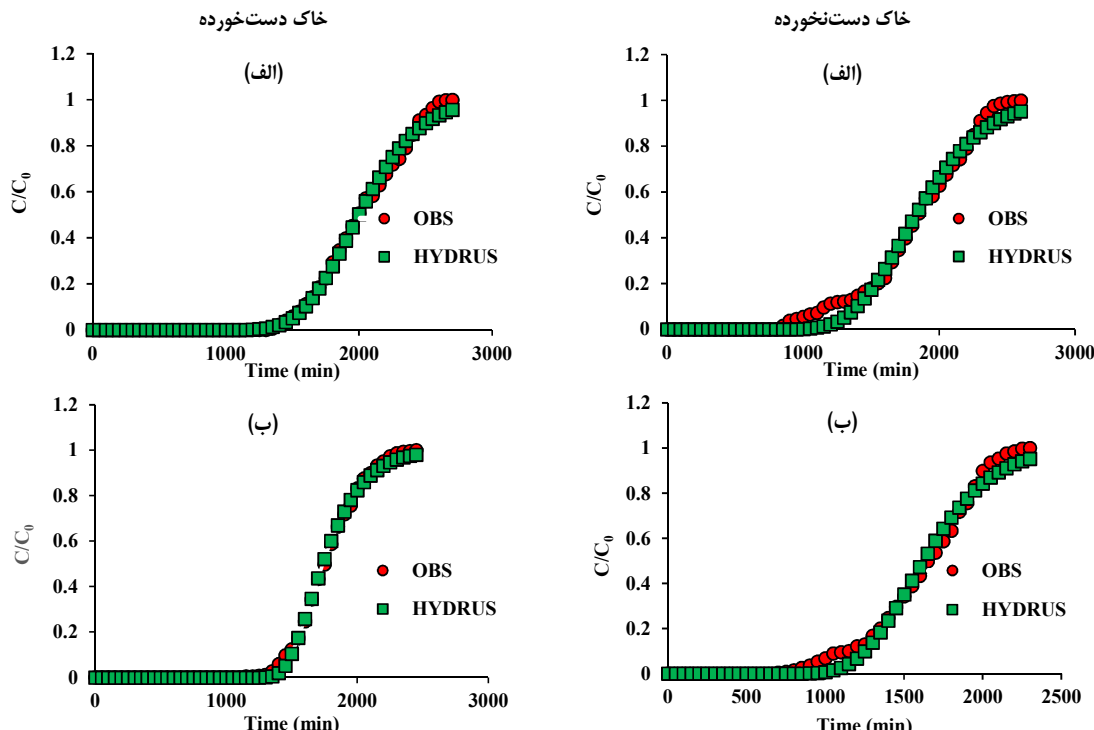
شکل ۳- شبیه‌سازی انتقال فلز نیکل در خاک دست‌خورده و دست‌نخورده با مدل Hydrus_1D؛ (الف): میلی‌گرم بر لیتر ($C_0 = 50$)، (ب): میلی‌گرم بر لیتر ($C_0 = 100$) و (ج): میلی‌گرم بر لیتر ($C_0 = 150$)؛ OBS: داده‌های اندازه‌گیری شده و HYDRUS: داده‌های برآشش شده

Figure 3- Simulation of Ni metal transfer in disturbed and untouched soil with Hydrus_1D model; A: mg l^{-1} ($C_0=50$), OBS: measured data, and HYDRUS: fitted data



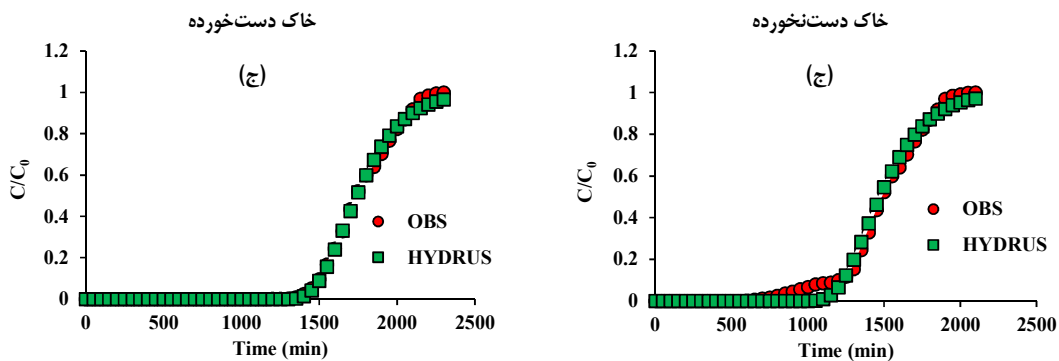
ادامه شکل ۳- شبیه‌سازی انتقال فلز نیکل در خاک دستخورده و دستنخورده با مدل Hydrus_1D (C₀ = ۱۰۰) و (C₀ = ۱۵۰) میلی گرم بر لیتر (OBS: داده‌های اندازه‌گیری شده و HYDRUS: داده‌های برآذش شده)

Continuation of Figure 3- Simulation of Ni metal transfer in disturbed and untouched soil with Hydrus_1D model; B: mg l^{-1} ($C_0=100$), and C: mg l^{-1} ($C_0=150$) OBS: measured data, and HYDRUS: fitted data



شکل ۴- شبیه‌سازی انتقال فلز روی در خاک دستخورده و دستنخورده با مدل Hydrus_1D (C₀ = ۵۰) و (C₀ = ۱۰۰) میلی گرم بر لیتر (OBS: داده‌های اندازه‌گیری شده و HYDRUS: داده‌های برآذش شده)

Figure 4- Simulation of Zn metal transport in undisturbed and undisturbed soil with Hydrus_1D model; A: mg l^{-1} ($C_0=50$), and B: mg l^{-1} ($C_0=100$), OBS: measured data and HYDRUS: fitted data



ادامه شکل ۴- شبیه‌سازی انتقال فلز روی در خاک دستخورده و دستنخورده با مدل Hydrus_1D: ج: میلی گرم بر لیتر ($C_0 = 150$)؛ OBS: داده‌های اندازه‌گیری شده و HYDRUS: داده‌های برازش شده

Continuation of Figure 4- Simulation of Zn metal transport in undisturbed and undisturbed soil with Hydrus_1D model; C: mg l⁻¹ ($C_0=150$), OBS: measured data and HYDRUS: fitted data

برای تحلیل حساسیت، مدل CDE با مقادیر واقعی پارامترهای ورودی آن یعنی D , K_d و β و با دامنه تغییرات مثبت و منفی پنج درصد و $\pm 15\%$ درصد نسبت به مقادیر واقعی آنها در غلظت‌های اولیه ۵۰, ۱۰۰ و ۱۵۰ میلی گرم بر لیتر اجرا شد و خروجی مدل یعنی منحنی رخنه به ازای مقادیر مختلف پارامترهای ورودی با هم مقایسه شد. در جدول ۴ پارامترهای رابطه با استفاده از مدل CDE بازه شده است.

۲-۳- مقایسه نتایج تحلیل حساسیت مدل CDE
تحلیل حساسیت به مطالعه تأثیرپذیری متغیرهای خروجی از متغیرهای ورودی یک مدل می‌پردازد. به عبارت دیگر روشی برای تعییر دادن در ورودی‌های یک مدل به صورت سازمان یافته (سیستماتیک) است که بتوان تأثیرات این تعییرها را در خروجی مدل پیش‌بینی کرد. بنابراین، نتایج تحلیل حساسیت بهمنظور تعیین دقیق قبول در اندازه‌گیری داده‌های ورودی، مهم است.

جدول ۴- پارامترهای ضریب پخش هیدرودینامیکی (D)، ضریب توزیع (k_d) و پارامتر پراکندگی (β) با استفاده از مدل Hydrus-1D
Table 4-parameters hydrodynamic dispersion coefficient (d), distribution coefficient (k_d), and spreading parameter (β) by Hydrus-1D

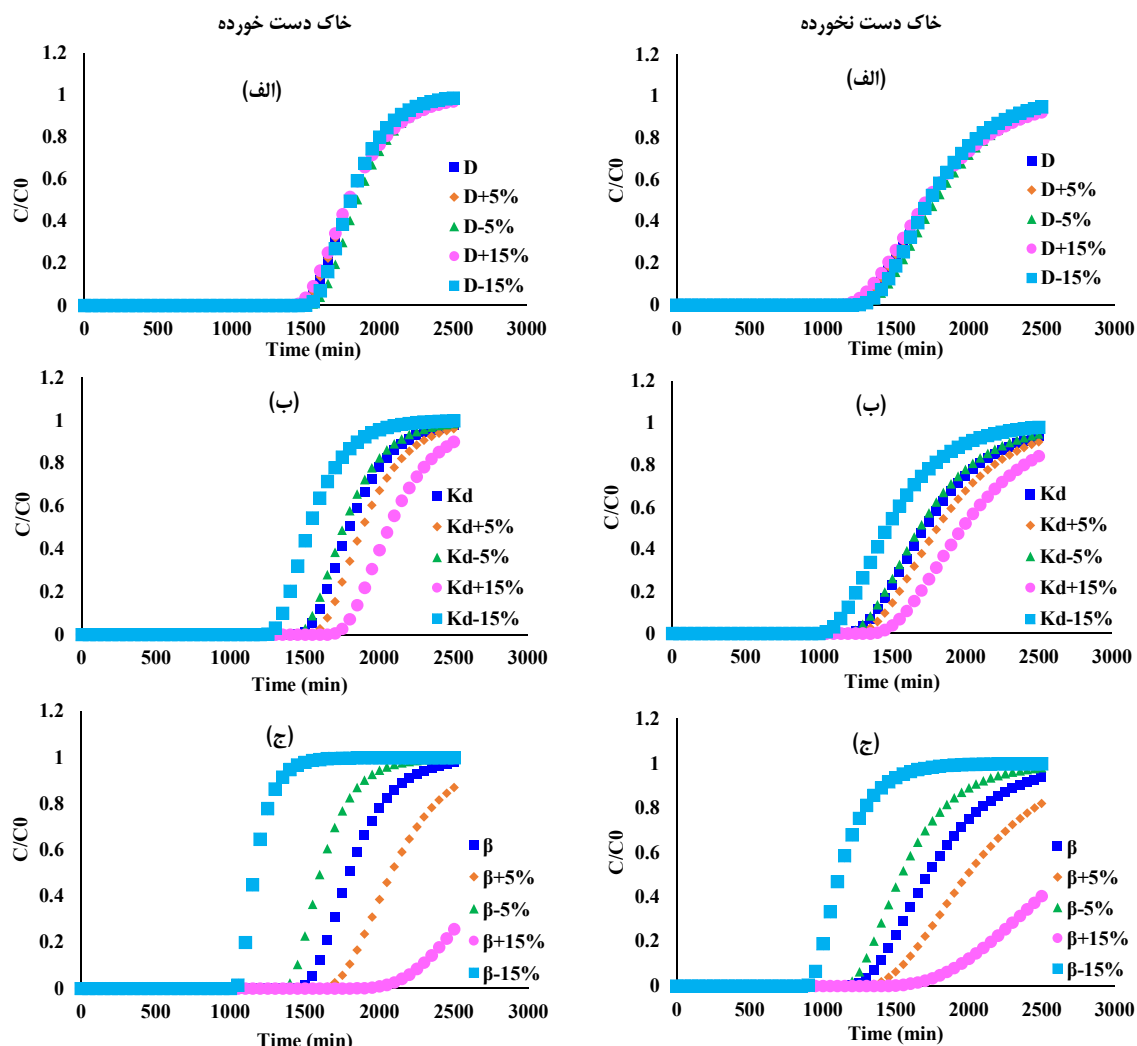
متغیر	نوع خاک																
	+15%	+5%	-5%	+5%	-15%	+15%	-5%	+5%	-15%	+15%	-5%	+5%					
Cd	0.65	0.87	0.72	0.80	0.76	121	163	135	149	142	0.43	0.58	0.48	0.53	0.5	50	Disturbed
	0.65	0.87	0.72	0.80	0.76	121	163	135	149	142	0.43	0.58	0.48	0.53	0.5	100	
	0.68	0.92	0.76	0.84	0.8	37.4	50.6	41.8	46.2	44	0.43	0.58	0.75	0.56	0.5	150	
	0.65	0.87	0.72	0.80	0.76	121	163	135	149	142	0.85	1.15	0.95	1.05	1	50	
	0.65	0.87	0.72	0.80	0.76	121	163	135	149	142	0.85	1.15	0.95	1.05	1	100	
	0.65	0.87	0.72	0.80	0.76	121	163	135	149	142	0.85	1.15	0.95	1.05	1	150	
Ni	0.65	0.87	0.72	0.80	0.76	121	163	135	149	142	0.43	0.58	0.48	0.56	0.5	50	Disturbed
	0.65	0.87	0.72	0.80	0.76	121	163	135	149	142	0.43	0.58	0.48	0.56	0.5	100	
	0.65	0.87	0.72	0.80	0.76	121	163	135	149	142	0.43	0.58	0.75	0.56	0.5	150	
	0.65	0.87	0.72	0.80	0.76	121	163	135	149	142	0.85	1.15	0.95	1.05	1	50	
	0.65	0.87	0.72	0.80	0.76	121	163	135	149	142	0.85	1.15	0.95	1.05	1	100	
	0.65	0.87	0.72	0.80	0.76	121	163	135	149	142	0.85	1.15	0.95	1.05	1	150	
Zn	0.68	0.92	0.76	0.84	0.8	121	163	135	149	142	0.85	1.15	0.95	1.05	1	50	Undisturb
	0.68	0.92	0.76	0.84	0.8	37.4	50.6	41.8	46.2	44	0.20	0.28	0.23	0.25	0.2	100	
	0.65	0.87	0.72	0.80	0.76	37.4	50.6	41.8	46.2	44	0.20	0.28	0.23	0.25	0.2	150	
	0.65	0.87	0.72	0.80	0.76	121	163	135	149	142	0.85	1.15	0.95	1.05	1	50	
	0.65	0.87	0.72	0.80	0.76	121	163	135	149	142	0.85	1.15	0.95	1.05	1	100	
	0.65	0.88	0.72	0.80	0.76	121	163	135	149	142	0.85	1.15	0.95	1.05	1	150	

با پارامترهای واقعی و تغییریافته در شکل ۵ نشان داده است در شبیه‌سازی انتقال فلز سنگین کادمیم در خاک دستخورده و دستنخورده، خروجی مدل Hydrus_1D برای این فلز بیشترین و کمترین حساسیت را به پارامتر پراکندگی (β) و ضریب

منحنی‌های رخنه برازش داده شده با مدل Hydrus_1D با پارامترهای واقعی و پارامترهای تغییریافته در غلظت اولیه ۱۰۰, ۵۰ و ۱۵ میلی گرم بر لیتر به ترتیب در شکل‌های ۵ الی ۷ برای فلز کادمیم ارائه شده است. بررسی منحنی‌های رخنه برازش داده شده

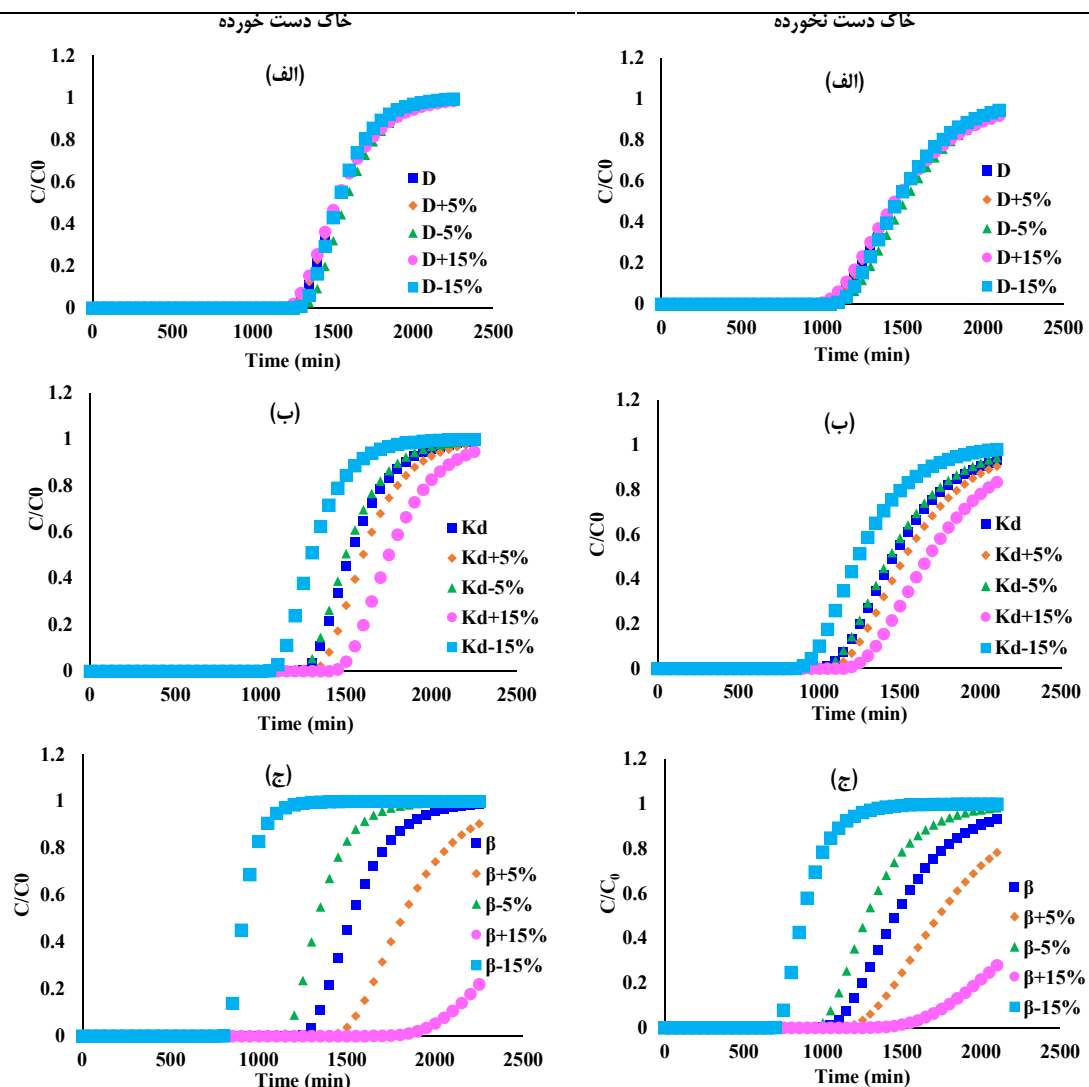
افزایش غلظت و حاکی از آن است که با تغییر غلظت اولیه همچنان پارامتر پراکندگی دارای بیشترین ضریب حساسیت و پارامتر ضریب پخش کمترین حساسیت را نسبت به تغییرات ورودی داشته است. بنابراین، تغییر غلظت تأثیری بر حساسیت مدل نداشته است. بررسی تأثیر تغییر پارامترهای ورودی در دو خاک دستخورده و دستخورده نشان داده است در هر دو نوع خاک روند یکسانی از تأثیر تغییر پارامترها مشاهده شده است، در هر دو نوع خاک پارامتر پراکندگی بیشترین حساسیت و پارامتر ضریب پخش کمترین حساسیت را به تغییر پارامترهای اولیه دارد. بررسی شکل های ۸ الی ۱۰ مربوط به نتایج فلز سنجین نیکل و همچنین شکل های ۱۱ تا ۱۳ مربوط به فلز سنجین روی نشان داده است که نتایج به دست آمده مشابه با نتایج مربوط به فلز کادمیم است.

پخش هیدرودینامیکی (D) دارد. به طورکلی، تأثیر پارامترهای ورودی به صورت زیر است: پارامتر پراکندگی < ضریب توزیع > < ضریب پخش. همان‌طور که نتایج نشان می‌دهد تغییرات D اثر جزئی و ناپیزی در نتایج مدل دارد، در نتیجه می‌توان خطاهای اندازه‌گیری این پارامتر را نادیده گرفت. از سوی دیگر با توجه به تأثیر قابل توجه تغییرات β بر مقادیر خروجی، این پارامتر باید با دقت بیشتری اندازه‌گیری شود. حساسیت کم این مدل به پارامتر ضریب پخشیدگی هیدرودینامیکی حاکی از این است که انتقال فلز سنجین کادمیم در ستون‌های کوچک خاک بیشتر تحت تأثیر پدیده انتقال توده‌ای است و پخش هیدرودینامیکی داخلت کمی Mao and Ren (2004) در فرآیند انتقال دارد. نتایج مشابه توسط CDE گزارش شده است. بررسی شکل های ۶ و ۷ نشان دهنده تأثیر این تغییرات با



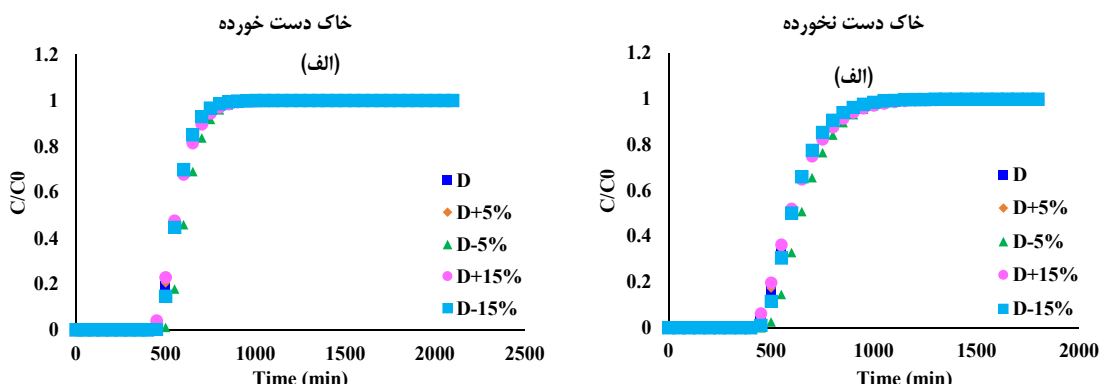
شکل ۵- تغییرات پارامترهای ضریب پخش هیدرودینامیکی (D) (الف)، ضریب توزیع (kd) (ب) و پارامتر پراکندگی (β) (ج) در انتقال فلز کادمیم در خاک دستخورده و دستخورده در غلظت اولیه ۵۰ میلی‌گرم بر لیتر

Figure 5- Changes in parameters of hydrodynamic dispersion coefficient (D) (a), distribution coefficient (kd) (b), and spreading parameter (β) (c) in the transport of Cd metal in disturbed and intact soil at an initial concentration of 50 mg l^{-1}



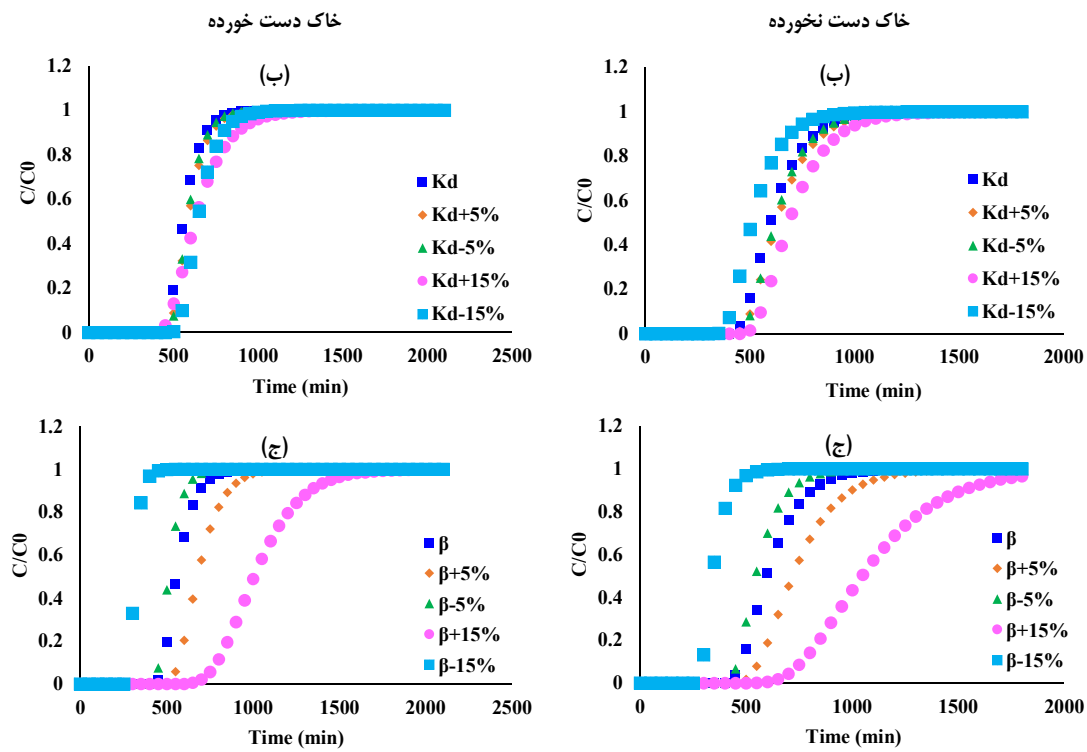
شکل ۶- تغییرات پارامترهای ضریب پخش هیدرودینامیکی (D) (الف)، ضریب توزیع (kd) (ب) و پارامتر پراکندگی (β) (ج) در انتقال فلز کادمیم در خاک دست خورده و دست نخورده در غلظت اولیه $100 \text{ میلی گرم بر لیتر}$

Figure 6- Changes in parameters of hydrodynamic dispersion coefficient (D) (a), distribution coefficient (kd) (b), and spreading parameter (β) (c) in the transport of Cd metal in disturbed and intact soil at an initial concentration of 100 mg l^{-1}



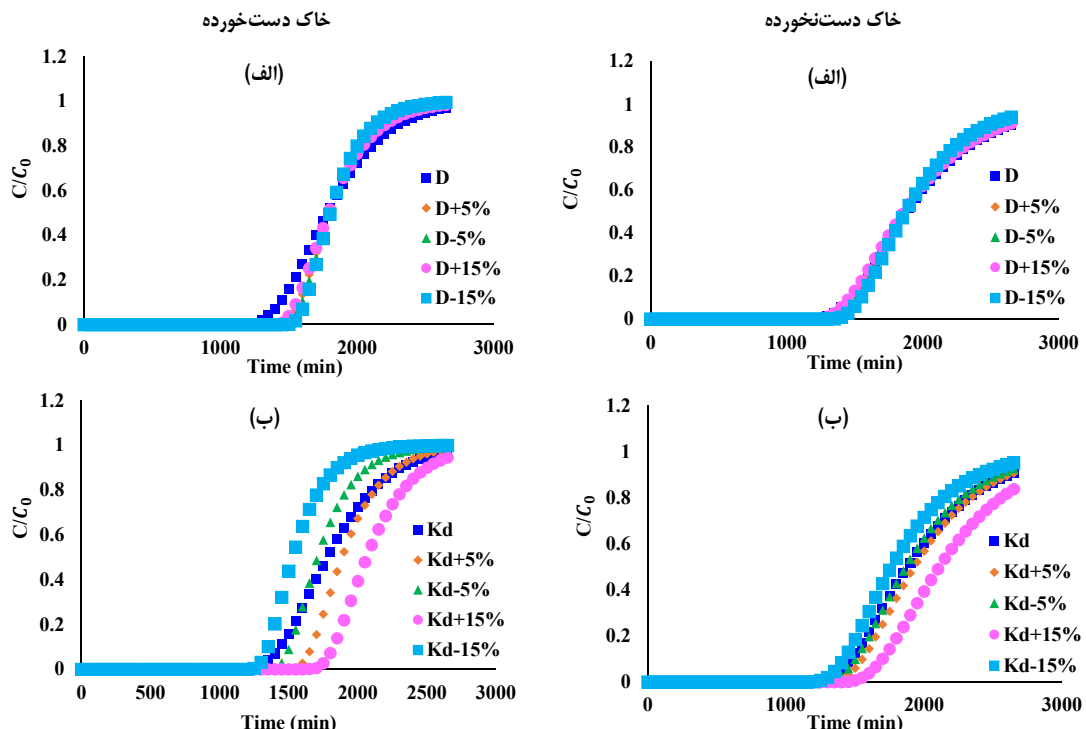
شکل ۷- تغییرات پارامتر ضریب پخش هیدرودینامیکی (D) (الف) در انتقال فلز کادمیم در خاک دست خورده و دست نخورده در غلظت اولیه $150 \text{ میلی گرم بر لیتر}$

Figure 7- Changes in parameters of hydrodynamic dispersion coefficient (D) (a) in the transport of Cd metal in disturbed and intact soil at an initial concentration of 150 mg l^{-1}



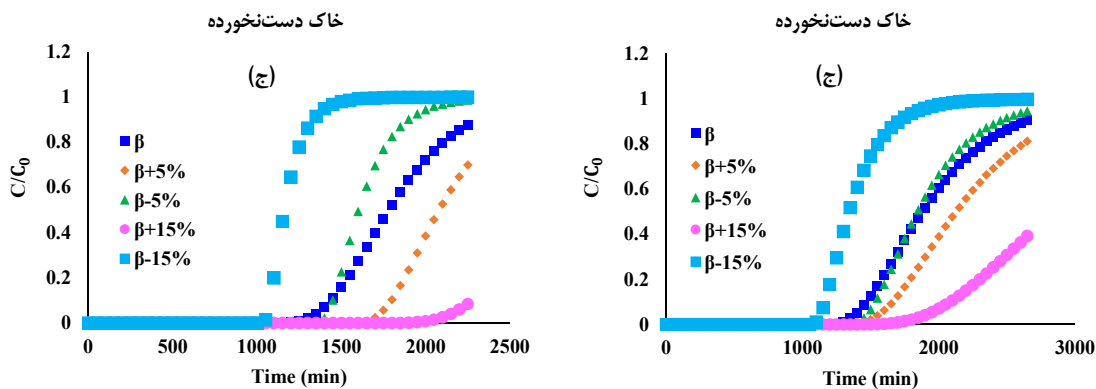
ادامه شکل ۷- تغییرات پارامترهای ضریب توزیع (kd) (ب) و پارامتر پراکندگی (β) (ج) در انتقال فلز کادمیم در خاک دست خورده و دست نخورده در غلظت اولیه ۱۵۰ میلی گرم بر لیتر

Continuation of Figure 7- Changes in parameters of distribution coefficient (kd) (b), and spreading parameter (β) (c) in the transport of Cd metal in disturbed and intact soil at an initial concentration of 150 mg l^{-1}

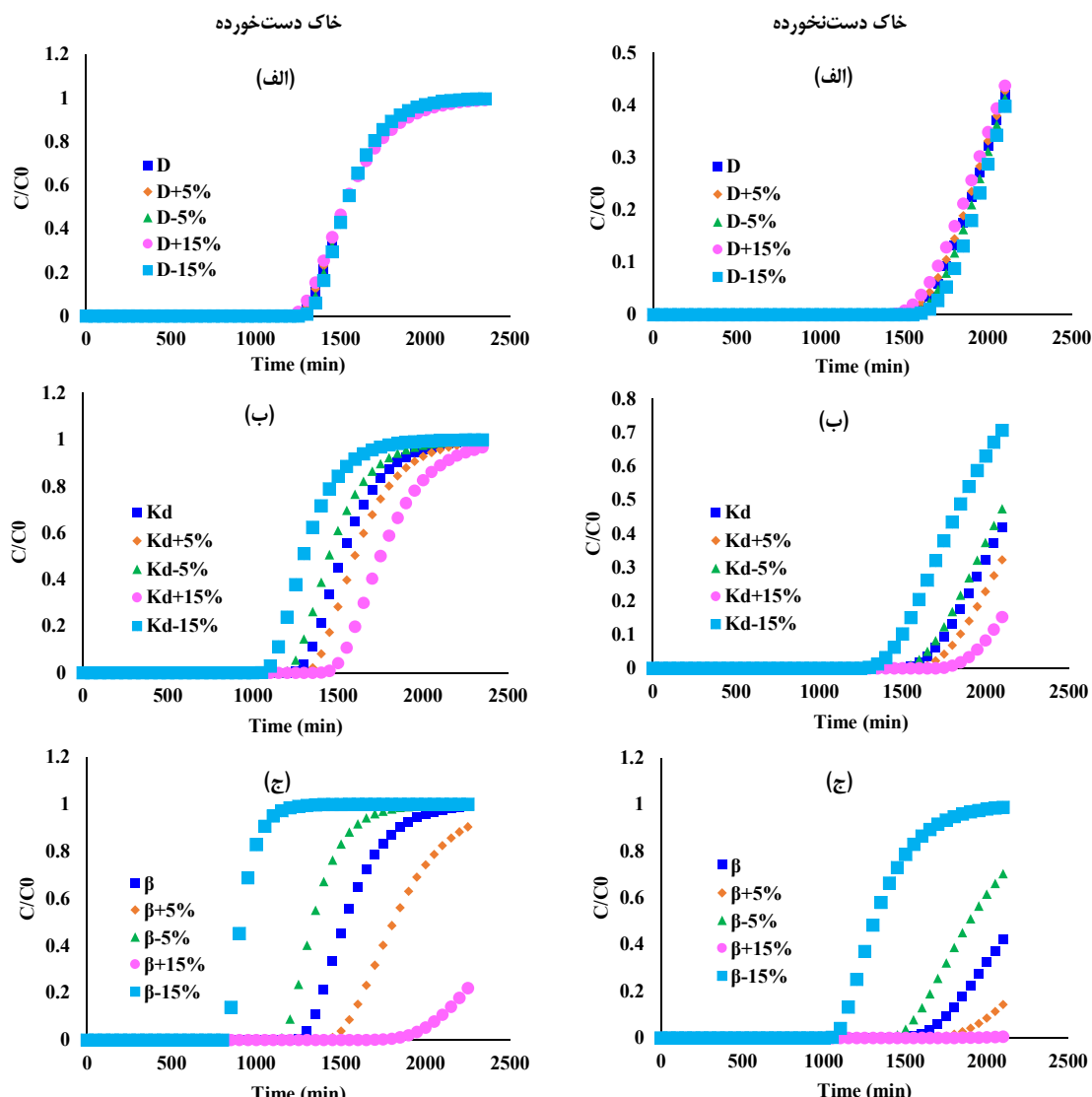


شکل ۸- تغییرات پارامترهای ضریب پخش هیدرودینامیکی (D) (الف) و ضریب توزیع (kd) (ب) در انتقال فلز نیکل در خاک دست خورده و دست نخورده در غلظت اولیه ۵۰ میلی گرم بر لیتر

Figure 8- Changes in parameters of hydrodynamic dispersion coefficient (D) (a) and distribution coefficient (kd) (b) in the transport of Ni metal in disturbed and intact soil at an initial concentration of 50 mg l^{-1}

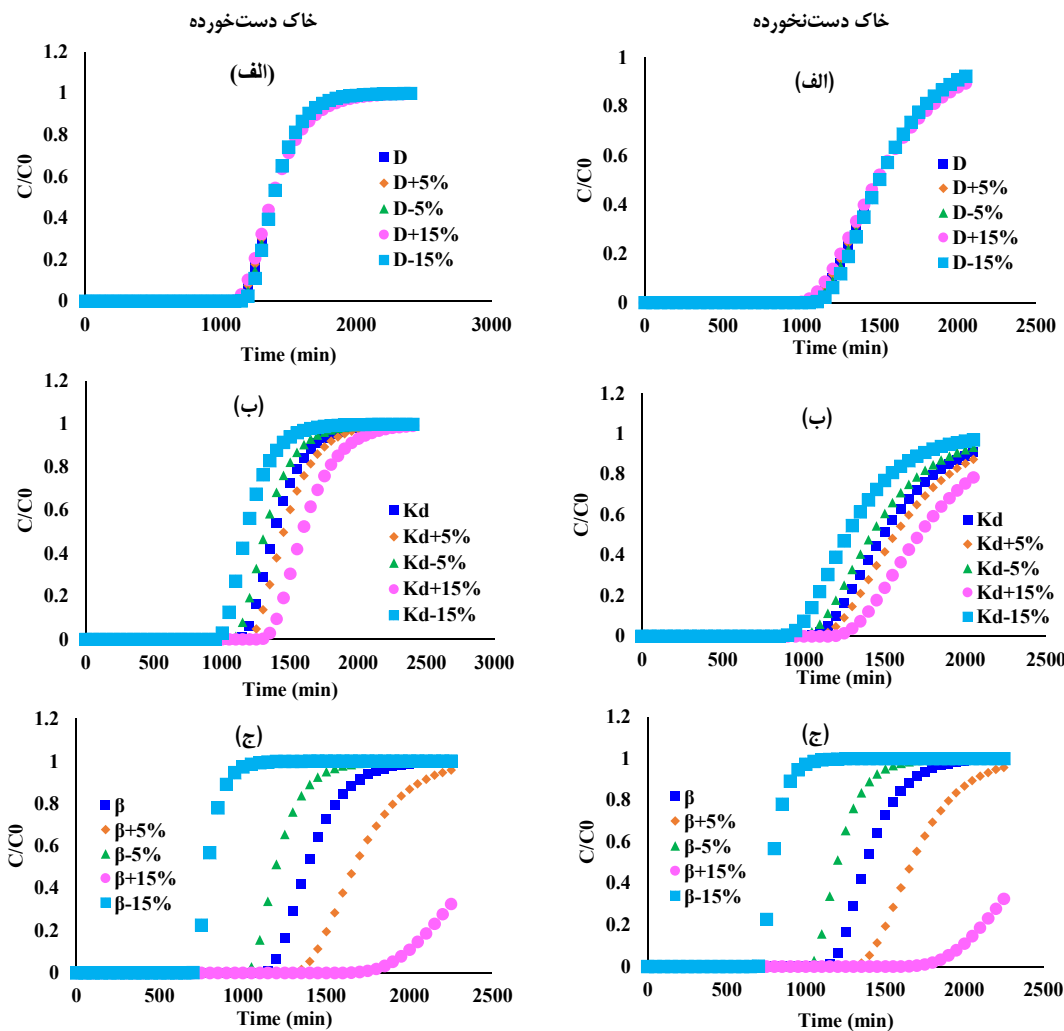


ادامه شکل ۸- تغییرات پارامتر پراکندگی (β) (ج) در انتقال فلز نیکل در خاک دستخورده و دستنخورده در غلظت اولیه 50 mg l^{-1}
Continuation of Figure 8- Changes in parameters of spreading parameter (β) (c) in the transport of Ni metal in disturbed and intact soil at an initial concentration of 50 mg l^{-1}



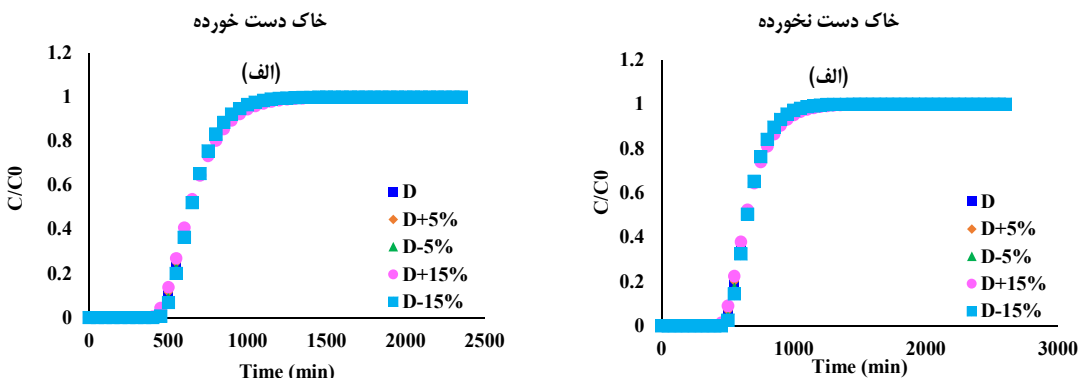
شکل ۹- تغییرات پارامترهای ضریب پخش هیدرودینامیکی (D) (الف)، ضریب توزیع (kd) (ب) و پارامتر پراکندگی (β) (ج) در انتقال فلز نیکل در خاک دستخورده و دستنخورده در غلظت اولیه 100 mg l^{-1}

Figure 9- Changes in parameters of hydrodynamic dispersion coefficient (D) (a), distribution coefficient (kd) (b), and spreading parameter (β) (c) in the transport of Ni metal in disturbed and intact soil at an initial concentration of 100 mg l^{-1}



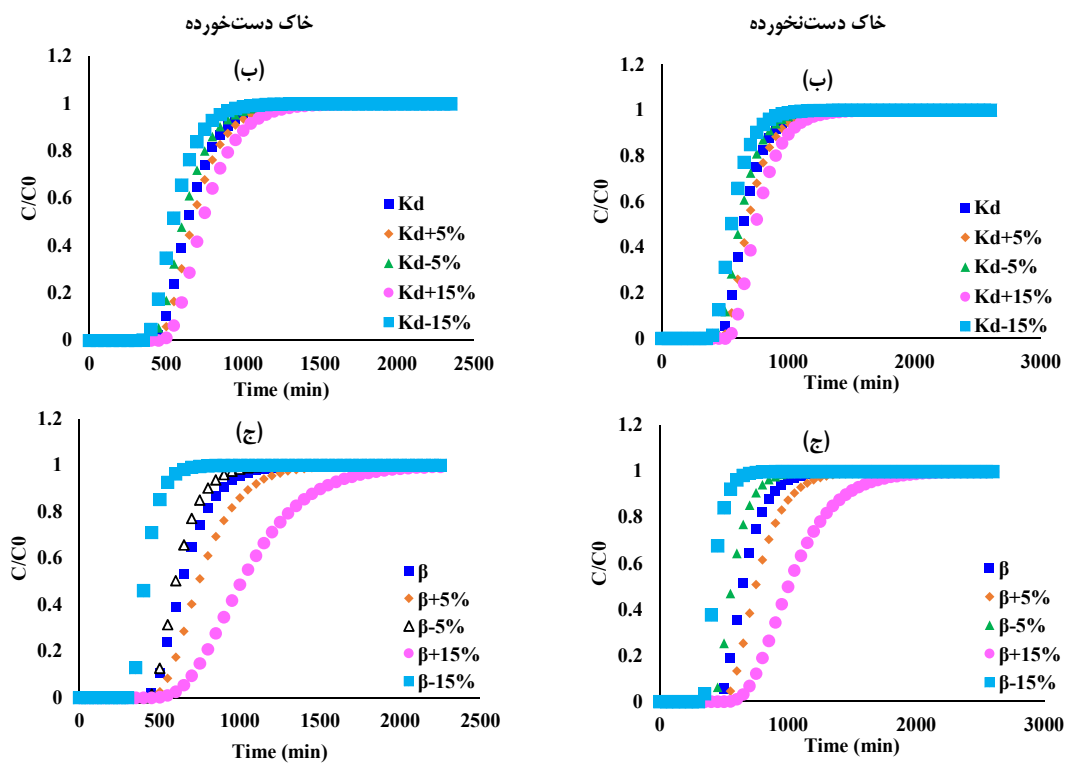
شکل ۱۰- تغییرات پارامترهای ضریب پخش هیدرودینامیکی (D) (الف)، ضریب توزیع (kd) (ب) و پارامتر پراکندگی (β) (ج) در انتقال فلز نیکل در خاک دست خورده و دست نخورده در غلظت اولیه ۱۵۰ میلی گرم بر لیتر

Figure 10- Changes in parameters of hydrodynamic dispersion coefficient (D) (a), distribution coefficient (kd) (b), and spreading parameter (β) (c) in the transport of Ni metal in disturbed and intact soil at an initial concentration of 150 mg l^{-1}



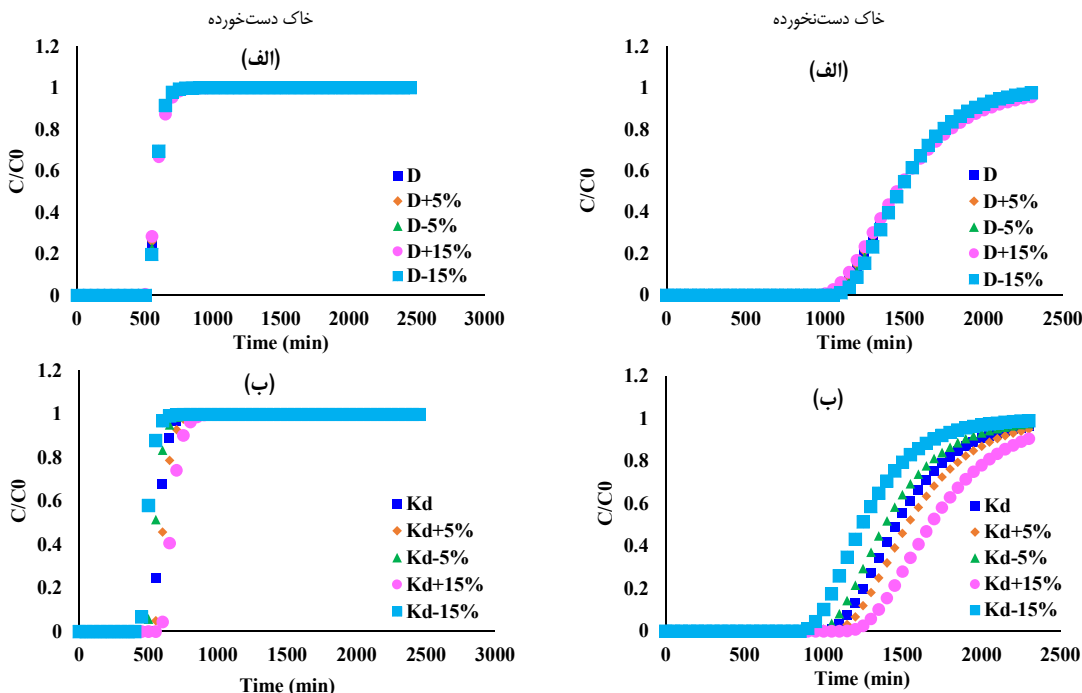
شکل ۱۱- تغییرات پارامتر ضریب پخش هیدرودینامیکی (D) (الف) در انتقال فلز روی در خاک دست خورده و دست نخورده در غلظت اولیه ۵۰ میلی گرم بر لیتر

Figure 11- Changes in parameters of hydrodynamic dispersion coefficient (D) (a) in the transport of Zn metal in disturbed and intact soil at an initial concentration of 50 mg l^{-1}



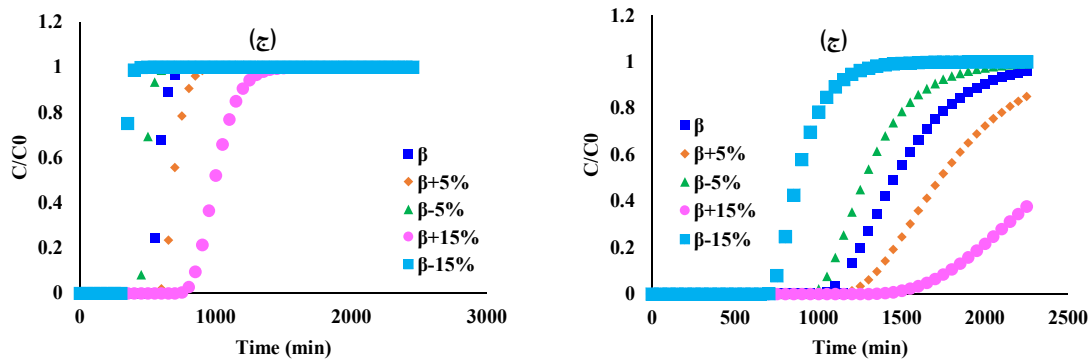
ادامه شکل ۱۱- تغییرات پارامترهای ضریب توزیع (kd) (ب) و پارامتر پراکندگی (β) (ج) در انتقال فلز روی در خاک دستخورده و دستنخورده در غلظت اولیه ۵۰ میلی گرم بر لیتر

Continuation of Figure 11- Changes in parameters of distribution coefficient (kd) (b), and spreading parameter (β) (c) in the transport of Zn metal in disturbed and intact soil at an initial concentration of 50 mg L^{-1}



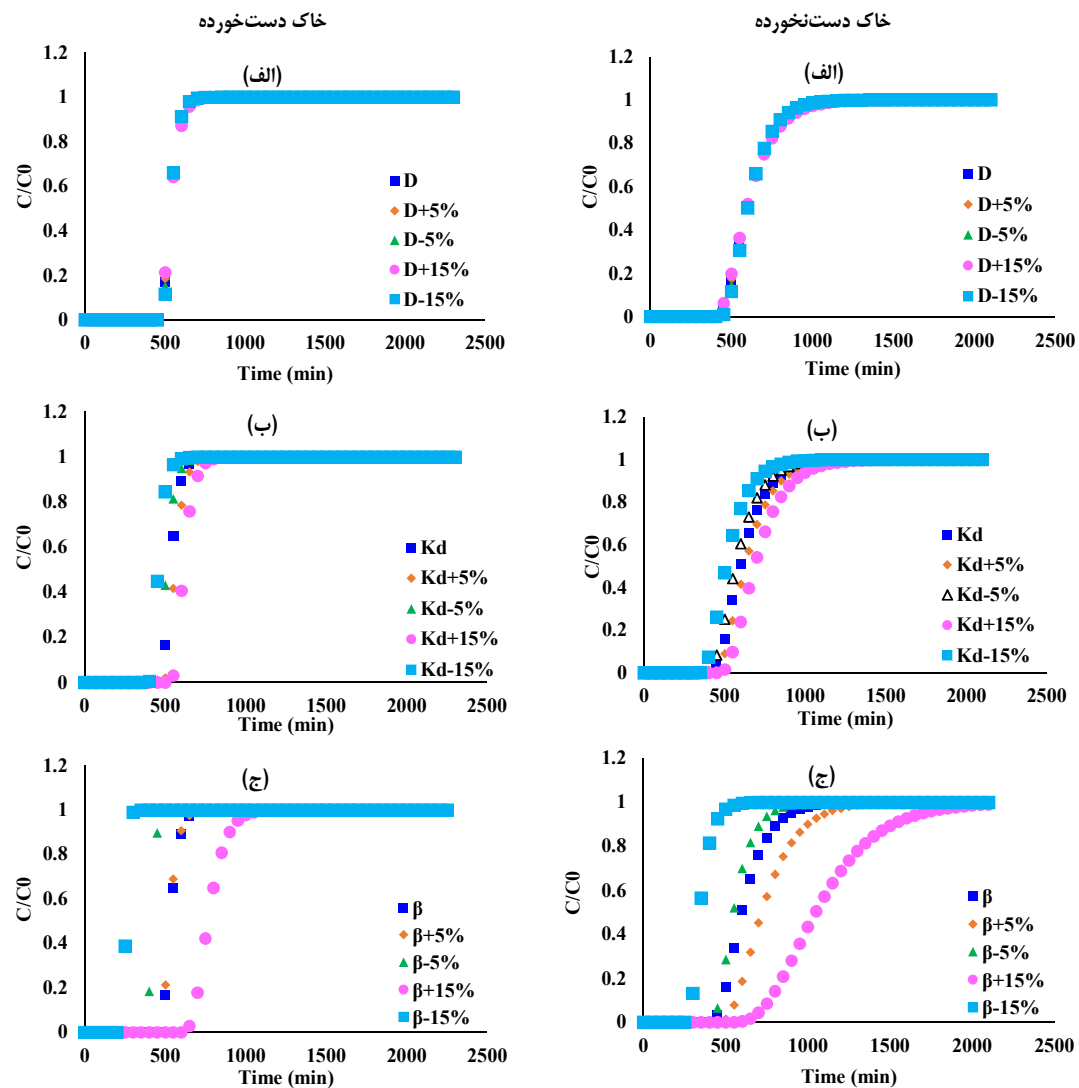
شکل ۱۲- تغییرات پارامترهای ضریب پخش هیدرودینامیکی (D) (الف) و ضریب توزیع (kd) و (ب) در انتقال فلز روی در خاک دستخورده و دستنخورده در غلظت اولیه ۱۰۰ میلی گرم بر لیتر

Figure 11- Changes in parameters of hydrodynamic dispersion coefficient (D) (a), and distribution coefficient (kd) (b) in the transport of Zn metal in disturbed and intact soil at an initial concentration of 100 mg L^{-1}



ادامه شکل ۱۲- تغییرات پارامتر پراکندگی (β) (ج) در انتقال فلز روی در خاک دستخورده و دستنخورده در غلظت اولیه 100 میلی گرم بر لیتر

Continuation of Figure 12- Changes in parameters of spreading parameter (β) (c) in the transport of Zn metal in disturbed and intact soil at an initial concentration of 100 mg l^{-1}



شکل ۱۳- تغییرات پارامترهای ضریب پخش هیدرودینامیکی (D) (الف) ضریب توزیع (kd) (ب) و پارامتر پراکندگی (β) (ج) در انتقال فلز روی در خاک دستخورده و دستنخورده در غلظت اولیه 150 میلی گرم بر لیتر

Figure 13- Changes in parameters of hydrodynamic dispersion coefficient (D) (a), distribution coefficient (kd) (b), and spreading parameter (β) (c) in the transport of Zn metal in disturbed and intact soil at an initial concentration of 150 mg l^{-1}

پارامتر را نادیده گرفت. نتایج بررسی توسط Moradi and Mehdenejadani (2018) نشان داد که D کمترین تأثیر را بر Hydrus_1D نتایج FADE و CDE دارد. حساسیت پایین مدل D به پارامتر D نشان می‌دهد که انتقال فلزات سنگین در ستون‌های کوچک خاک اغلب باید به عنوان همرفت در نظر گرفته شود. شدت تحلیل حساسیت در پارامترهای K_d و β زیاد است که این میزان در پارامتر β بیشتر نمایان است. بنابراین، به دلیل تأثیر مهم آن بر مقادیر خروجی، بهویژه پارامتر β باید با دقت بیشتری در نظر گرفته شود. در نتیجه، قابل پیش‌بینی است که کوچکترین تغییر در β تأثیر قابل توجهی بر غلظت نسبی داشته باشد. نتایج مشابهی توسط Morsali et al. (2009) و Li and Ren (2009) گزارش شده است. به علاوه بررسی نتایج مربوط به دو فلز دیگر حاکی از مشابهیودن نتایج دارد که نشان‌دهنده مکانیسم پیکسان در این فلزات است.

نتایج تحلیل حساسیت مدل 1D_Hydrus برای فلز کادمیم، نیکل و روی در جدول ۵ ارائه شده است. نتایج به دست آمده مشابه منحنی های رخنه برازش داده شده شکل های ۵ الی ۱۳، بیان گر پیش ترین و کمترین حساسیت مدل به ترتیب به پارامتر پراکنده گی و ضربی پخش است. روند شدت حساسیت خروجی مدل (غلظت نسبی) به پارامترهای ورودی آن برای هر سه فلز به این شرح است: پارامتر پراکنده \rightarrow ضربی توزیع \rightarrow ضربی پخش. براساس جدول ۲ در صورتی که میزان S_e بین صفر تا $\frac{1}{3}$ باشد شدت حساسیت کم است؛ بنابراین، بررسی عددی میزان S_e در جدول ۵ نشان داده است میزان D بین صفر تا $\frac{1}{3}$ است که حاکی از شدت حساسیت کم به تغییر این پارامتر است. در نتیجه می توان ادعا کرد که D تأثیر ناچیزی بر نتایج مدل دارد و حاکی از آن است که انتقال فلز سنگین در ستون های کوچک خاک بیشتر توسط پدیده انتقال توده ای است و پخش هیدرودینامیکی دخالت کمی در فرآیند انتقال دارد؛ بنابراین، می توان خطاهای اندازه گیری این

جدول ۵- تحلیل حساسیت پارامترهای ضریب پخش (D)، ضریب توزیع (K_d) و پارامتر پراکندگی (β) در شبیه‌سازی مدل ۱D Hydrus فلز کادمیم، نیکل و روی در خاک‌های دست خورده و دست‌نخورده در غلظت‌های مختلف (درصد)

Table2- The sensitivity analysis of parameters hydrodynamic dispersion coefficient (D), distribution coefficient (K_d) and spreading parameter (β) in the simulation of Hydrus_1D model of Cd, Ni, and Zn in disturbed and undisturbed soils in different concentrations

Concentrations								parameter	Heavy metal
S _c (-15)	S _c (+15)	S _c (-5)	S _c (+5)						
Undisturbed	Disturbed	Undisturbed	Disturbed	Undisturbed	Disturbed	Undisturbed	Disturbed		
0.052251	0.015683	0.06283	0.02301	0.05668	0.01734	0.06044	0.02100	D	
حسابیت کم		حسابیت کم		حسابیت کم		حسابیت کم			
-1.57364	-1.76051	-3.2264	-4.3581	-1.9553	-2.27272	-2.48261	-3.0573	K _d	Cd (50)
حسابیت زیاد		حسابیت زیاد		حسابیت زیاد		حسابیت زیاد			
-2.82346	-3.02633	-25.509	-77.650	-4.6503	-5.23811	-9.44155	-13.209	β	
حسابیت زیاد		حسابیت زیاد		حسابیت زیاد		حسابیت زیاد			
0.055671	0.00605	0.06740	0.01066	0.06013	0.007489	0.063283	0.00947	D	
حسابیت کم		حسابیت کم		حسابیت کم		حسابیت کم			
-1.59686	-1.51755	-3.3047	-3.3306	-1.9903	-1.90474	-2.53484	-2.4685	K _d	Cd (100)
حسابیت زیاد		حسابیت زیاد		حسابیت زیاد		حسابیت زیاد			
-3.05841	-2.91204	-47.311	-112.64	-5.3023	-5.05185	-12.3781	-13.314	β	
حسابیت زیاد		حسابیت زیاد		حسابیت زیاد		حسابیت زیاد			
-0.000012	-0.000016	-0.000012	0.000443	-0.000073	0.000001	-0.00022	0.00005	D	
حسابیت کم		حسابیت کم		حسابیت کم		حسابیت کم			
-0.44404	0.354621	-0.6029	-0.41223	-0.49145	-0.34777	-0.54443	-0.3781	K _d	Cd (150)
حسابیت زیاد		حسابیت زیاد		حسابیت زیاد		حسابیت زیاد			
-1.13425	-0.87274	-4.63641	-3.05789	-1.6063	-1.20589	-2.49684	-1.7948	β	
حسابیت زیاد		حسابیت زیاد		حسابیت زیاد		حسابیت زیاد			
-0.06058	0.113144	0.145054	-0.11219	-0.24496	0.343405	0.32077	-0.3428	D	
حسابیت کم		حسابیت کم		حسابیت کم		حسابیت کم			
-0.80387	-1.45172	-2.7856	-3.56123	-0.28125	-1.62295	-1.36559	-2.8936	K _d	Ni (50)
حسابیت زیاد		حسابیت زیاد		حسابیت زیاد		حسابیت زیاد			
-2.6446	-2.67027	-24.7893	-48.4531	-1.96566	-4.28826	-8.14906	-10.899	β	
حسابیت زیاد		حسابیت زیاد		حسابیت زیاد		حسابیت زیاد			
0.314	0.002973	0.0015	0.005987	0.179	0.00389	0.077	0.00527	D	
حسابیت کم		حسابیت کم		حسابیت کم		حسابیت کم			
-3.81721	-1.37555	-25.3643	-2.81683	-3.19764	-1.69804	-10.7025	-2.1524	K _d	Ni (100)
حسابیت زیاد		حسابیت زیاد		حسابیت زیاد		حسابیت زیاد			
-5.30669	-2.71341	-142.37	-74.3202	-12.1571	-4.58644	-67.4584	-11.193	β	
حسابیت زیاد		حسابیت زیاد		حسابیت زیاد		حسابیت زیاد			

ادامه جدول ۵- تحلیل حساسیت پارامترهای ضریب پخش (D)، ضریب توزیع (K_d) و پارامتر پراکنده (β) در شبیه‌سازی مدل Hydrus_1D فلز کادمیم، نیکل و روی در خاک‌های دست‌خورده و دست‌تخرورده در غلظت‌های مختلف (درصد)

Table 5- The sensitivity analysis of parameters hydrodynamic dispersion coefficient (D), distribution coefficient (K_d) and spreading parameter (β) in the simulation of Hydrus_1D model of Cd, Ni, and Zn in disturbed and undisturbed soils in different concentrations (%)

S _c (-15)	S _c (+15)	S _c (-5)	S _c (+5)	parameter	Heavy metal			
Undisturbed	Disturbed	Undisturbed	Disturbed	Undisturbed	Disturbed	Undisturbed	Disturbed	
0.080829	-0.00012	0.094028	0.000595	0.086064	0.000285	0.08982	0.00047	D
حساسیت کم -1.75523 -1.07392	حساسیت کم -3.84626 -1.90291	حساسیت کم -2.22007 -1.28052	حساسیت کم -2.8787 -1.5450	حساسیت کم -16.45 -8.4419	حساسیت زیاد -3.37 -2.34446	حساسیت زیاد -90.57 -45.2475	حساسیت زیاد -6.15 -3.8253	K _d (150)
حساسیت زیاد -3.37 -2.34446	حساسیت زیاد -90.57 -45.2475	حساسیت زیاد -6.15 -3.8253	حساسیت زیاد -16.45 -8.4419	حساسیت زیاد -1.35979 -0.3352	حساسیت زیاد -1.30362 -0.27489	حساسیت زیاد -1.3915 -0.3635	حساسیت زیاد -1.33081 -0.3089	β
حساسیت کم -0.000027 -0.000036	حساسیت کم -0.0000846 0.000018	حساسیت کم -0.0000424 0.00006	حساسیت کم -0.000037 0.00004	حساسیت کم -0.030423 -0.0010	حساسیت کم -0.02837 -0.00087	حساسیت کم 0.033383 -0.00092	حساسیت کم 0.02837 -0.00087	D
حساسیت زیاد -1.32836 -0.26767	حساسیت زیاد -2.49901 -0.34394	حساسیت زیاد -1.61462 -0.28873	حساسیت زیاد -1.9932 -0.3198	حساسیت زیاد -1.39512 -0.28281	حساسیت زیاد -1.43321 -0.3127	حساسیت زیاد -30.3513 -2.07995	حساسیت زیاد -4.4995 -0.9444	K _d Zn (50)
حساسیت زیاد -2.6816 -0.71625	حساسیت زیاد -3.3513 -2.07995	حساسیت زیاد -4.4995 -0.9444	حساسیت زیاد -9.31771 -1.3497	حساسیت زیاد -1.30642 -1.69763	حساسیت زیاد -1.9504 0.61533	حساسیت زیاد -0.000079 0.001294	حساسیت زیاد -0.00022 -0.0003	β
حساسیت کم -0.00001 0.001227	حساسیت کم -0.00012 -0.00041	حساسیت کم -1.39512 -0.28281	حساسیت کم -1.43321 -0.3127	حساسیت کم -1.9504 0.61533	حساسیت کم -0.00022 -0.0003	حساسیت کم -0.000079 0.001294	حساسیت کم -0.00022 -0.0003	D
حساسیت زیاد -1.36038 -0.26273	حساسیت زیاد -1.47432 -0.33553	حساسیت زیاد -1.30642 -1.69763	حساسیت زیاد -1.9504 0.61533	حساسیت زیاد -1.9504 0.61533	حساسیت زیاد -1.9504 0.61533	حساسیت زیاد -1.43321 -0.3127	حساسیت زیاد -1.9504 0.61533	K _d Zn (100)
حساسیت زیاد -1.94192 -0.85069	حساسیت زیاد -3.33683 -1.10662	حساسیت زیاد -1.30642 -1.69763	حساسیت زیاد -1.9504 0.61533	حساسیت زیاد -1.9504 0.61533	حساسیت زیاد -1.9504 0.61533	حساسیت زیاد -1.9504 0.61533	حساسیت زیاد -1.9504 0.61533	β

برآورد پارامترهای انتقال املاح هم به روش آزمایشگاهی و هم به روش مدل سازی معکوس انجام می‌شود، لذا نتایج پژوهش نشان داد بر اساس میزان حساسیت، در برآورد عملی و آزمایشگاهی این پارامترها باید با دقت تخمین زده شوند. حساسیت پایین مدل Hydrus_1D به پارامتر D نشان می‌دهد که انتقال فلزات سنگین در ستون‌های کوچک خاک اغلب باید به عنوان همرفت در نظر گرفته شود تا پراکنده هیدرودینامیکی. تعیین تحلیل حساسیت و مشخص نمودن پارامتر حساس باعث می‌شود در انتخاب مقادیر برای پارامترهای خاص که نقش مهمی در نتایج دارد، دقت بیشتری به عمل آید.

سپاس‌گزاری

از حمایت معنوی دانشگاه آزاد اسلامی واحد تبریز تشکر می‌شود.

تضاد منافع نویسندها

نویسندها این مقاله اعلام می‌دارند که هیچ‌گونه تضاد منافعی در خصوص نگارش و انتشار مطالب و نتایج این پژوهش وجود ندارند.

۴- نتیجه‌گیری

تحلیل حساسیت برای شناسایی عوامل تأثیرگذار بر خروجی مدل انجام می‌شود. این روش، تأثیرپذیری مدل و شرایط واقعی را از داده‌های ورودی مورد بررسی قرار می‌دهد. به عبارت دیگر روشی برای تعییردادن در ورودی‌های یک مدل به صورت سازمان یافته (سیستماتیک) است که بتوان تأثیرات این تعییرها را در خروجی مدل پیش‌بینی کرد. انطباق زیاد منحنی‌های رخنه برآش داده شده با مدل Hydrus-1D و اندازه‌گیری شده، قابلیت مدل Hydrus-1D را در برآش منحنی رخنه نشان می‌دهد. برآش مدل در خاک دست‌خورده نسبت به خاک دست‌تخرورده بهدلیل بهم‌خوردگی ساختمان خاک و افزایش سطح تماس ذرات، بهتر است. نتایج تحلیل حساسیت در این مدل نشان داد تأثیر تعییر پارامترهای ورودی در فلزات سنگین مورد پژوهش از روند زیر پیروی می‌کند: پارامتر پراکنده β > ضریب توزیع.

شدت تحلیل حساسیت به پارامتر پراکنده (β) دارای بیشترین مقدار و به پارامتر ضریب پخش هیدرودینامیکی (D) دارای کمترین مقدار بوده که نشان‌دهنده حساسیت زیاد مدل به تعییر پارامتر پراکنده است، در نتیجه، کوچک‌ترین تعییر در β تأثیر قابل توجهی بر غلظت نسبی خواهد داشت. با توجه به این که

نتایج؛ الناز صیاغ تازه: مشاوره، بازبینی متن مقاله؛ سیامک ساعدی؛ مشاوره، بازبینی متن مقاله.

منابع

رئوف، مجید، اکبری باصری، زینب، رسول‌زاده، علی، و عزیزی مصمر، جوانشیر (۱۴۰۱). تحلیل حساسیت نرم‌افزار Hydrus نسبت به داده‌های ورودی در شبیه‌سازی حرکت آب و جذب ریشه گیاه مرجع چمن. مدل‌سازی و مدیریت آب و خاک، ۳(۲)، ۹۴-۱۰۷. doi: 10.22098/MMWS.2022.10847.1090

References

- Bear, J. (1972). *Dynamic of Fluids in Porous Media*. American Elsevier Publishing, New York. doi:10.1016/S0166-2481(08)70538-5.
- Burgers, S.L.G.E., Hofstede, G.J., Jonker, C.M., & Verwaart, T. (2010). Sensitivity analysis of an agent-based model of culture's consequences for trade. In: Li Calzi, M., Milone, L., Pellizzari, P. (Eds.), *Progress in Artificial Economics*, 645, Springer, Berlin, Heidelberg, 253–264. doi: 10.1007/978-3-642-13947-5_21
- Ersahin, S., Papendick, R.I., Smith, J.L., Keller, C.K., & Manoranjan, V.S. (2002). Macropore transport of bromide as influenced by soil structure differences. *Geoderma*, 108, 207-223. doi:10.1016/S1002-0160(17)60334-5
- Feddes, R.A., Kowalik, P., & Zarandy, H. (1978). Simulation of field water use and crop yield. Pudoc. Wageningen, Pp. 189.
- Gove, L., Cook, C.M., Nicholson, F.A., & Beck, A.J. (2001). Movement of water and heavy metals (Zn, Cu, Pb and Ni) through sand and sandy loam amended with biosolids under steady-state hydrological conditions. *Bioresource Technology*, 78, 171-179. doi:10.1016/S0960-8524(01)00004-9
- Huang, G., Huang, Q., Zhan, H., Chen, J., Xiong, Y., & Feng, S. (2005). Modeling contaminant transport in homogeneous porous media with fractional advection dispersion equation. *Science China Earth Sciences*, 48, 295-302. doi:10.1360/05yd0001
- Huang, G., Huang Q., & Zhan H. (2006) Evidence of one-dimensional scale-dependent fractional advectiondispersion. *Journal of Contaminant Hydrology*, 85(1-2), 53-71. doi:10.1016/j.jconhyd.2005.12.007
- Jacques, D., Simunek, J., Timmerman, A., & Feyen, J. (2002). Calibration of Richards' and convection-dispersion equations to field-scale water flow and solute transport under rainfall conditions. *Journal of Hydrology*, 259, 15-31. doi:10.1016/S00221694(01)00591-1
- Jiang, Y., Yin, X., Guan, D., Jing, T., Sun, H., Wang, N., & Bai, J. (2019). Co-transport of Pb(II) and oxygen-content-controllable graphene oxide from electron-beam-irradiated graphite in saturated porous media. *Journal of Hazardous Materials*, 375, 297–304. doi:10.1016/j.jhazmat.2019.05.001
- Jirka Simunek, J. (2014). Comparision of CXTIFIT and HYDRUS-1D projects. University of California Riverside.
- Jury, W.A. (1982). Simulation of solute transport using a transfer function model. *Water Resources Research*, 18, 363-368. doi:10.1029/wr018i002p00363
- Kanzari, S., Hachicha, M., & Bouhlila, R. (2015). Laboratory method for estimating solute transport parameters of unsaturated soils. *American Journal of Geophysics, Geochemistry and Geosystems*, 4, 149-154. <http://creativecommons.org/licenses/by-nc/4.0/>
- Lamboni, M., Monod, H., & Makowski, D. (2011). Multivariate sensitivity analysis to measure global contribution of input factors in dynamic models. *Reliability Engineering & System Safety*, 96(4), 450–459. doi:10.1016/j.ress.2010.12.002
- Li, N., & Ren, L. (2009). Application of continuous time random walk theory to non-equilibrium transport in soil. *Journal of contaminant Hydrology*, 108(3), 134–151. doi:10.1016/j.jconhyd.2009.07.002
- Lin, Q., & Xu, Sh. (2020). Co-transport of heavy metals in layered saturated soil: Characteristics and simulation. *Environmental Pollution*, 261, 114072. doi:10.1016/j.envpol.2020.114072
- Liu, H.F., Genard, M., Guichard, S., & Bertin, N. (2007). Model-assisted analysis of tomato fruit growth in relation to carbon and water fluxes. *Journal of Experimental Botany*, 58(13), 3567-3580. doi:10.1093/jxb/erm202
- Liu, X., Guo, H., Zhang, X., Zhang, Sh., Cao, X., Ou, Z., Zhang, W., & Chen, Zh. (2022). Modeling the transport behavior of Pb(II), Ni(II) and Cd(II) in the complex heavy metal pollution site under the influence of coexisting ions. *Process Safety and Environmental Protection*, 162, 211-218. doi:10.1016/j.psep.2022.04.016
- Lurette, A., Touzeau, S., Lamboni, M., & Monod, H. (2009). Sensitivity analysis to identify key

دسترسی به داده‌ها

همه اطلاعات و نتایج در متن مقاله ارائه شده است.

مشارکت نویسنده‌گان

سیده کوثر دانشیار: مفهوم‌سازی، انجام تحلیل‌های نرم‌افزاری/آماری، نگارش نسخه اولیه مقاله؛ محمد رضا دلایان: راهنمایی، ویرایش و بازبینی مقاله، کنترل نتایج؛ شهرام شاه‌محمدی کالاق: راهنمایی، ویرایش و بازبینی مقاله، کنترل

- parameters influencing *Salmonella* infection dynamics in a pig batch. *Journal of Theoretical Biology*, 258(1), 43-52. doi:10.1016/j.jtbi.2009.01.026
- Mao, M., & Ren, L. (2004). Simulating non-equilibrium transport of atrazine through saturated soil. *Groundwater*, 42, 500-508. doi:10.1111/j.1745-6584.2004.tb02618.x
- Michel, K., & Ludwig, B. (2005). Modelling of seepage water composition from experiments with an acid soil and a calcareous sediment. *Acta Hydrochimica et Hydrobiologica*, 33, 595-604. doi:10.1002/aheh.200400603
- Moradi, G., & Mehdinejadiani, B. (2018). Modelling Solute transport in homogeneous and heterogeneous porous media using spatial fractional advection-dispersion equation. *Soil and Water Research*, 13(1), 18–28. doi: 10.17221/245/2016-SWR.
- Morsali, S., Babazadeh, H., Shahmohammadi-kalagh, Sh., & Sedghi, H. (2019). Simulating Zn, Cd and Ni Transport in Disturbed and Undisturbed Soil Columns: Comparison of Alternative Models. *International Journal of Environmental Research*, 13, 721-734. doi:10.1007/s41742-019-00212-w
- Nguyen Ngoc, M., Dultz, S., & Kasbohm, J. (2009). Simulation of retention and transport of copper, lead and zinc in a paddy soil of the Red River Delta, Vietnam. *Agriculture, Ecosystems and Environment*, 129, 8–16. doi:10.1016/j.agee.2008.06.008
- Pang, L., & Close, M. (1999). Non-equilibrium transport of Cd in alluvial gravels. *Journal of Contaminant Hydrology*, 36, 185-206. doi:10.1016/S0169-7722(98)00110-7
- Pietrzak, D. (2021). Modeling migration of organic pollutants in groundwater- review of available software. *Environmental Modelling & Software*, 144. doi:10.1016/j.envsoft.2021.105145
- Raoof, M., Akbari Baseri, Z., Rasoulzadeh, A., & Azizi Mobaser, J. (2022). Sensitivity analysis of Hydrus software to input data in simulating water movement and root uptake of grass as reference plant. *Water and Soil Management and Modeling*, 2(3), 94-107. doi: 10.22098/MMWS.2022.10847.1090. [In Persian]
- Rouger, B., Goldringer, I., Barbillon, P., Miramon, A., Nanio Jika, A.K., & Thomas, M. (2023). Sensitivity analysis of a crop metapopulation model. *Ecological Modelling*, 475, 110174. doi: 10.1016/j.ecolmodel.2022.110174.
- Saadati, Z., Delbari, M., Panahi, M., & Amiri, E. (2018). Simulation of sugar beet growth under water stress using AquaCrop model. *Journal of Water and Soil Resources Conservation*, 7(3), 1-18. doi: 20.1001.1.22517480.1397.7.3.1.9
- Saltelli, A., Aleksankina, K., Becker, W., Fennell, P., Ferretti, F., Holst, N., Li, S., & Wu, Q. (2019). Why so many published sensitivity analyses are false: A systematic review of sensitivity analysis practices. *Environmental Modelling & Software*, 114, 29–39. doi:10.1016/j.envsoft.2019.01.012
- Simunek, J., Sejna, M., & Van Genuchten, M.Th. (1998). The HYDRUS-1D software package for simulating the one-dimensional movement of water, heat, and multiple solutes in variably saturated media, Version 2.0, IGWMC-TPS-70, Int. Ground Water Modeling Center, Colorado School of Mines, Golden, Co.
- Shahmohammadi, Sh., & Beyrami, H. (2015). Modeling bromide transport in undisturbed soil columns with the continuous time random walk. *Geotechnical and Geological Engineering*, 33, 1511-1518.doi:10.1615/JPorMedia.v18.i12.20
- Soares, L.M.V., & Calijuri, M.C. (2021). Sensitivity and identifiability analyses of parameters for water quality modeling of subtropical reservoirs. *Ecological Modelling*, 458, 109720. doi:10.1016/j.ecolmodel.2021.109720.
- Tyler, L.D., McBride M.B. (1982). Mobility and Extractability of Cadmium, Copper, Nickel and Zinc in Organic and Mineral Soil Columns. *Soil Science*, 134(3), 198-205. Doi: 10.1097/00010694-198209000-00009
- Van Genuchten, M.Th. (1980). A closed-form equation for predicting the hydraulic conductivity of unsaturated soils. *Soil Science Society of America Journal*, 44(5), 892-898. doi:10.2136/sssaj1980.03615995004400050002x
- Wang, H., Liu, J., Yao, J., He, Q., Ma, J., Chai, H., Liu, C., Hu, X., Chen, Y., Zou, Y., Xiong, J., & Huangfu, X. (2020). Transport of Tl(I) in water-saturated porous media: Role of carbonate, phosphate and macromolecular organic matter. *Water Research*, 186, 116325. doi:10.1016/j.watres.2020.116325
- Xiong, Y., Huang, G., & Huang, Q. (2006). Modeling solute transport in one-dimensional homogeneous and heterogeneous soil columns with continuous time random walk. *Journal of Contaminant Hydrology*, 86(3-4), 163–175. doi:10.1016/J.JCONHYD.2006.03.001
- Yang, B., Qiu, H., Zhang, P., He, E., Xia, B., Liu, Y., Zhao, L., Xu, X., & Cao, X. (2022). Modeling and visualizing the transport and retention of cationic and oxyanionic metals (Cd and Cr) in saturated soil under various hydrochemical and hydrodynamic conditions. *Science of the Total Environment*, 751, 151467. doi:10.1016/j.scitotenv.2021.151467
- Yang, J., Ge, M., Jin, Q., Chen, Z., & Guo, Z. (2019). Co-transport of U(VI), humic acid and colloidal gibbsite in water-saturated porous media. *Chemosphere*, 231, 405–414. doi: 10.1016/j.chemosphere.2019.05.091
- Yuan, Y., & Peng, X. (2017). Fullerol-facilitated transport of copper ions in water-saturated

- porous media: influencing factors and mechanism. *Journal of Hazardous Materials*, 340, 96–103.
doi:10.1016/j.jhazmat.2017.07.001
- Zhang, H., Lu, T., Shang, Z., Li, Y., He, J., Liu, S., Li, D., Zhou, Y., & Qi, Z. (2020). Transport of Cd(2+) through saturated porous media: insight into the effects of low-molecular-weight organic acids. *Water Research*, 168, 115182. doi:10.1016/j.watres.2019.115182
- Zhi-Ming, Q., Shao-Yuan, F., & Helmers, M.J. (2012). modeling cadmium transprt in neutral and alkaline soilcolumns at various depths. *Pedosphere*, 22(3), 273-282.
doi:10.1016/S1002-0160(12)60014-9